

# 鋼の焼入に及ぼす各種元素の影響

## 第 2 報

(日本鐵鋼協會第 19 回講演大會講演 昭和 13 年 4 月)

俵 信 次\*

EFFECTS OF VARIOUS ELEMENTS ON HARDENING OF STEEL (Report II)

Sinji Tawara

*SYNOPSIS:*—Following the first report, I have studied on the combined effects of more than two special elements existing in steel. Summarizing the results obtained, I have introduced a simple method to investigate graphically the effects of these elements in special steels from that of the individual element already studied.

Moreover I have studied the effects of various contents of carbon upon hardening of special steel and the influence of various quenching temperatures and conditions. I have also observed the influence of gaseous elements in steels. Finally applying the general equation of thermal conductivity for the calculation of the cooling velocity in inner parts of steel during hardening process, it was proved that the hardening depth of a large mass of steel as treated in a factory, can be measured by the above method using the value of the critical cooling velocity.

Thus, it is demonstrated that the results and methods obtained by the writer in these experiments have a great value in actual hardening practice.

### 目 次

#### I. 緒 言

#### II. 二種以上の特殊元素による影響

- 1. ニッケル及クロムの影響 2. ニッケル及銅の影響
- 3. ニッケル、クロム及モリブデンの影響 4. 總括

#### III. 特殊鋼に於ける炭素の影響

- 1. ニッケル鋼に及ぼす炭素の影響 2. クロム鋼に及ぼす炭素の影響 3. 總括

#### IV. 焼入溫度の高低による影響

- 1. 炭素鋼 2. 銅鋼 3. タングステン鋼

#### V. 焼入前鋼が保有せし状態による影響

- 1. 焼入前の組織 (1) 炭素鋼 (2) マンガン鋼 (3) ニッケルクロム鋼 (4) 總括
- 2. 鍛鍊度の影響

#### VI. 鋼中含有ガスの影響

- 1. 水素の影響 2. 窒素の影響

#### VII. 焼入の際に於ける鋼材内部の冷却速度

- 1. 冷却速度の計算基本式 2. 比熱、密度及熱傳導率の決定 3. 冷却速度の計算値と其の應用

#### VIII. 鋼材真空加熱焼入實驗

- 1. 試料の調製 2. 實驗装置及方法 3. 實驗結果

#### IX. 結 論

### I. 緒 言

著者は鋼の焼入に及ぼす諸元素の影響に就き實驗し第 1

\* 海軍技術研究所

報に於て之を報告し併せてそれ等の理論的説明をも試みた。爾來引續き該研究を繼續し更に實地上重要な諸問題に關して實驗を行つた。本研究により極めて有益なる現場上の参考資料を得たものと思ふので第 2 報として茲に公表する次第である。猶試料の調製、實驗装置及び方法等は前回報告せるものと全く同様であるから之を省き其の結果のみを記すことにした。

### II. 二種以上の特殊元素による影響

二種以上の特殊元素を含有する鋼はそれ等の適當なる組合せにより極めて優秀なる性質を持たせ得るので兵器或は他の構造用材料として多量に實用に供せられて居る。仍て之等に關しては最近大いに研究せらるゝに至つたが其の成分複雑にして實驗困難なる爲め未だ正確なるものは少い。Guillet<sup>1)</sup> は多くの多元特殊鋼に就き系統的研究を行ひそれ等の利用範囲を確定した。此結果一般に各元素は單獨の際と同様の影響を協力附與するものであることを認めた。

本實驗に於て著者は之等の内最も多量に實用せられる Ni 及び Cr, Ni 及び Cu, Ni, Cr 及び Mo が協力して鋼の焼入に及ぼす影響を實驗した。猶之等の試料は其の成分複雑なる爲め調製上特に多大の労力を費したものである

#### 1. ニッケル及クロムの影響

Ni-Cr 鋼は兵器等に多く使用され構造用強靱鋼として最も重要である。本鋼の優秀なる點は熱處理效果大なるこ

とであつて Ni が鋼の変態點降下に及ぼす影響は Cr が共存する場合更に著しく Ni-Cr 鋼の臨界冷却速度は各單獨の場合に比し極めて小となる。Guillet<sup>1)</sup> の研究によれば Ni, Cr 及び炭素の焼入に及ぼす影響程度の比率は 29: 18: 1.65 又著者の結果はそれ等の含有量により異なるも 0.9% に於て 9: 4: 3 であつた。次に Wever 及び Lange<sup>2)</sup> は磁氣的方法により又 Wever 及び Jellinghaus<sup>3)</sup> は熱膨脹計により変態點以下各溫度に於ける本鋼オーステナイトの分解速度を正確に測定し、之は明に分離せる三の溫度範囲にて著しく大になることを認めた。又佐々川博士<sup>4)</sup> は硬度の測定により八田氏<sup>5)</sup> はオーステナイトのマルテンサイトへ變化する際の膨脹速度の測定により本鋼の焼入程度を求めた。次に之等の組織に關しては Ni-Cr-Fe 三元系は多くの學者<sup>6)</sup> が研究せるも Ni-Cr-Fe-C 四元系に就ては其の發表せられたるもの少く Strauss 及び Maurer<sup>7)</sup> の研究を見るに過ぎない。其の研究に於て彼等は炭素量一定の場合の組織圖を求めて之をフェライトとパーライト、マルテンサイトとソルバイトとトルースタイト、オーステナイトとマルテンサイト及びオーステナイトの四區域に分けた。本實驗は第1表に化學成分及び加熱の際の變態點を示す5種の Ni-Cr 鋼に就て行った。之等は何れも Strauss 及び Maurer<sup>7)</sup> の組織圖に於てフェライトとパーライトの區域に屬するものである。

第1表 ニッケルクロム鋼の化學成分及變態點

| 試料番號 | Ni%  | Cr%  | C%   | Si%  | Mn% | P%    | S%    | 變態點°C           |                 |
|------|------|------|------|------|-----|-------|-------|-----------------|-----------------|
|      |      |      |      |      |     |       |       | Ac <sub>3</sub> | Ac <sub>1</sub> |
| 1512 | 1.03 | 0.47 | 0.31 | 0.09 | なし  | 0.009 | 0.009 | 815             | 750             |
| 1504 | 2.35 | 0.43 | 0.30 | 0.12 | "   | 0.009 | 0.006 | 815             | 745             |
| 1506 | 3.22 | 0.67 | 0.26 | 0.12 | "   | 0.008 | 0.009 | 795             | 740             |
| 1514 | 3.22 | 1.16 | 0.31 | 0.11 | "   | 0.010 | 0.009 | 785             | 740             |
| 1509 | 3.29 | 1.67 | 0.30 | 0.09 | "   | 0.008 | 0.005 | 777             | 743             |

著者は先づ Cr 及び炭素一定の鋼に於ける Ni の影響を實驗し次いで Ni 及び炭素一定の場合の Cr の影響に就て行った。

1) 一定の Cr 及び炭素を含有する鋼の焼入に及ぼす Ni の影響

供試材料は第1表の試料 1,512 1,504 及び 1,506 にして何れも炭素約 0.3% Cr 約 0.5% である。第2表に

第2表 ニッケルクロム鋼の實驗結果 (I)

| 試料番號 | Ni%  | Cr%  | C%   | 燒入溫度 °C | 實驗番號 | 冷却速度 °C/秒 | 變態點°C |          | 試料顯微鏡組織    |
|------|------|------|------|---------|------|-----------|-------|----------|------------|
|      |      |      |      |         |      |           | Ar'   | Ar''     |            |
| 1512 | 1.03 | 0.47 | 0.31 | 880     | 1    | 1,000     | —     | 320      | M 100%     |
|      |      |      |      |         | 2    | 715       | 340   | T痕跡 M 残り |            |
|      |      |      |      |         | 3    | 333       | 510   | 325      | M 10%      |
|      |      |      |      |         | 4    | 250       | 540   | —        | M 3-4%     |
|      |      |      |      |         | 5    | 166       | 600   | —        | M なし       |
| 1504 | 2.35 | 0.43 | 0.30 | 840     | 1    | 500       | —     | 365      | M 100%     |
|      |      |      |      |         | 2    | 400       | 500   | 360      | T2-3% M 残り |
|      |      |      |      |         | 3    | 274       | 515   | 365      | M 70%      |
|      |      |      |      |         | 4    | 250       | 525   | 360      | M 60%      |
|      |      |      |      |         | 5    | 167       | 555   | 365      | M 4-5%     |
|      |      |      |      |         | 6    | 139       | 565   | —        | M 痕跡       |
| 1506 | 3.22 | 0.67 | 0.26 | 835     | 1    | 227       | 335   | T痕跡 M 残り |            |
|      |      |      |      |         | 2    | 143       | 530   | 325      | T1-2% M 残り |
|      |      |      |      |         | 3    | 119       | 538   | 335      | T7-8% M 残り |
|      |      |      |      |         | 4    | 76        | 570   | 325      | M 30%      |
|      |      |      |      |         | 5    | 56        | 580   | 325      | M 15-20%   |
|      |      |      |      |         | 6    | 17        | 635   | —        | M なし       |

顯微鏡組織中の M 及び T の符號は夫々マルテンサイト及びトルースタイトを示し、附記數字は其の面積により推定したる量の百分率である。

それ等の實驗結果を示し第1圖にそれより求めたる燒入狀態圖を示した。之を見るに本鋼の變態點は別に異狀なく何れも兩臨界冷却速度間にて二段變態を示して居る。次に第3表に各試料の上部及び下部臨界冷却速度を示す。

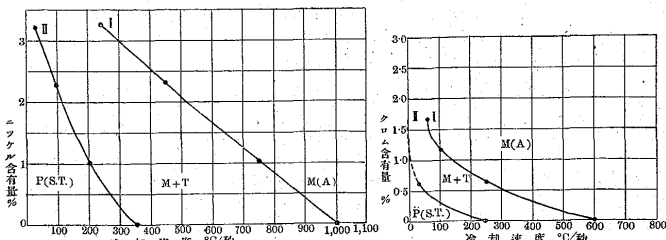
第3表 ニッケルクロム鋼の臨界冷却速度 (I)

| 試料番號 | Ni%  | Cr%  | C%   | 下部臨界冷却速度 °C/秒 |     | 上部臨界冷却速度 °C/秒 |   |
|------|------|------|------|---------------|-----|---------------|---|
|      |      |      |      | P(S.T.)       | U   | M+T           | V |
| 1512 | 1.03 | 0.47 | 0.31 | 200           | 750 |               |   |
| 1504 | 2.35 | 0.43 | 0.30 | 100           | 450 |               |   |
| 1506 | 3.22 | 0.67 | 0.26 | 30            | 250 |               |   |

第2圖は之を圖示し Cr 鋼の臨界冷却速度に及ぼす Ni の影響を示した。

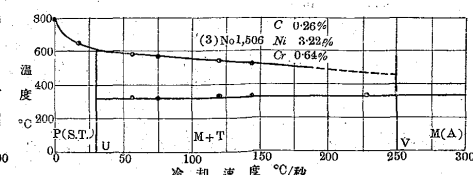
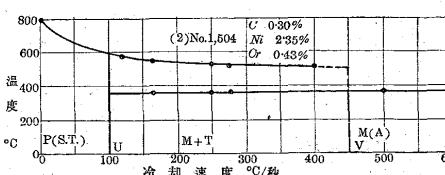
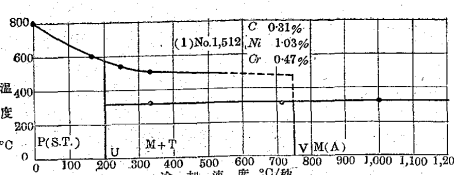
第2圖 クロム鋼(C 0.3% Cr 0.5%) の臨界冷却速度に及ぼすニッケルの影響

第3圖 ニッケル鋼(C 0.3% Ni 3.25%) の臨界冷却速度に及ぼすクロムの影響



圖中曲線 I を見るに Ni 無き 0.5% Cr 鋼の上部臨界冷却速度は 1,000°C/秒 なるに對し Ni 1% にては 750°

第1圖 ニッケルクロム鋼の燒入狀態圖



C/秒 2% にては 500°C/秒 3% では 300°C/秒 となり Cr 鋼の臨界冷却速度に対する Ni 附加による作用は炭素鋼に対する Ni のそれと略同じ割合である。即ち曲線 I の傾向は炭素鋼に於ける Ni の影響を示す曲線（第1報第16図I）と略一致して居る。而して其の數値は Ni 無き場合は含有 Cr 量 0.5% の影響だけ小となるも Ni の増すに従て其の差は幾分小さくなり Cr の影響は減少して居る。曲線 II 即ち下部臨界冷却速度も大體之と同様である。

## 2) 一定の Ni 及び炭素を含有する鋼の焼入に及ぼす Cr の影響

供試材料は第1表の試料 1,506, 1,514 及び 1,509 にして炭素及び Ni 含有量は夫々約 0.3% 及び 3.25% である。第4表にそれ等の実験結果を示す。試料 1,514 及び 1,509

第4表 ニッケルクロム鋼の実験結果 (II)

| 試料番号 | Cr % | Ni % | C %  | 焼入温度 °C | 実験番号        | 冷却速度 °C/秒       | 変態點 °C            | 試料顯微鏡組織                          |
|------|------|------|------|---------|-------------|-----------------|-------------------|----------------------------------|
|      |      |      |      |         |             | Ar' / Ar''      |                   |                                  |
| 1506 | 0.67 | 3.22 | 0.26 | 835     |             |                 |                   |                                  |
| 1514 | 1.16 | 3.22 | 0.31 | 820     | 1<br>2<br>3 | 111<br>71<br>50 | 325<br>328<br>330 | M 100%<br>T痕跡 M 残り<br>T1-2% M 残り |
| 1509 | 1.67 | 3.29 | 0.30 | 810     | 1<br>2<br>3 | 91<br>57<br>13  | 310<br>313<br>—   | M 100%<br>T痕跡 M 残り<br>T4-5% M 残り |

\* 本試料の実験結果は第2表に示せるを以て省略した。

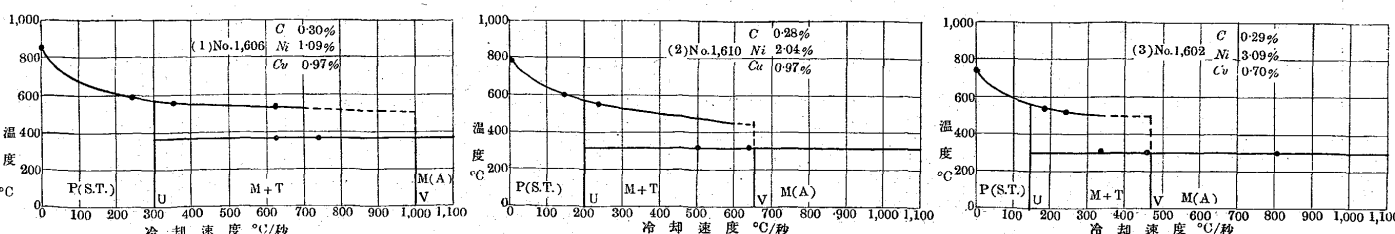
顯微鏡組織中の M 及び T の符號は夫々マルテンサイト及びトルースタイトを示し、附記數字は其の面積により推定したる量の百分率である。

は極めて焼入易く冷却速度を小にして実験せるにより本装置にては正確に変態點を測定し得ざりし爲め其の焼入状態圖を省いた。仍て Cr 多き場合は三段変態をなすものと思はれるが本実験にてはそれを観察する事が出来なかつた。次に第5表に各試料の上部及び下部臨界冷却速度を示す。

第5表 ニッケルクロム鋼の臨界冷却速度 (II)

| 試料番号 | Cr % | Ni % | C %  | 下部臨界冷却速度 °C/秒 | 上部臨界冷却速度 °C/秒 |
|------|------|------|------|---------------|---------------|
| 1506 | 0.67 | 3.22 | 0.26 | 30            | 250           |
| 1514 | 1.16 | 3.22 | 0.31 | —             | 100           |
| 1509 | 1.67 | 3.29 | 0.30 | —             | 60            |

第4図 ニッケル鋼の焼入状態圖



又第3圖は之を圖示し Ni 鋼の臨界冷却速度に及ぼす Cr の影響を示す。

之も前述同様炭素鋼に於ける Cr の影響と略同傾向にして只含有 Ni 量に応じて其の程度が大となるのである。猶試料 1,514 及び 1,509 の下部臨界冷却速度は極めて小さく本實験装置にては正確に求められなかつたので推定に基き點線で示した。

## 2. ニッケル及銅の影響

Ni と銅は近年構造用鋼の成分として屢々同伴して用ひられる。例へば Nehl<sup>8)</sup> の研究結果、銅鋼の缺點である赤熱脆性は Ni の添加により防ぎ得ることが明かとなり屢々之に用ひられる他 Ni-Cr 鋼の代用として其の Ni の一部を銅にて置換したる Ni-Cr-Cu 鋼等にも用ひられる。Grenet,<sup>9)</sup> Clamer<sup>10)</sup> の研究によれば Ni-Cr 鋼に於て Ni の一部に銅を用ふると焼の入る深さを増し変態點の降下を生ずると云ふことである。Oertel 及び Leveringhaus<sup>11)</sup> は Ni 鋼と Ni-Cu 鋼の機械的性質を比較し、後者は前者に比し抗張力幾分低下するも伸び及び絞りは大となることを認めた。又 Friend 及び West<sup>12)</sup> も種々の Ni-Cu 鋼の機械的試験を行つた。次に Ni と Cu の焼入に及ぼす影響に就ては Persoz<sup>13)</sup> の研究結果銅は Ni と共に鋼の焼入效果を大にすると述べたが我國に於ても同様の研究結果が得られて居る。斯の如く Ni と銅の組合せは鋼の成分として近年大いに用ひられるに至り且將來極めて重要と思はれるので第6表に示す3種のニッケル銅鋼に就て実験した。

第6表 ニッケル銅鋼の化學成分及変態點

| 試料番号 | Ni % | Cu % | C %  | Si % | Mn % | P %   | S %   | 変態點 °C                            |
|------|------|------|------|------|------|-------|-------|-----------------------------------|
|      |      |      |      |      |      |       |       | Ac <sub>3</sub> / Ac <sub>1</sub> |
| 1606 | 1.09 | 0.97 | 0.30 | 0.11 | 痕跡   | 0.011 | 0.008 | 855 / 728                         |
| 1610 | 2.04 | 0.97 | 0.28 | 0.03 | "    | 0.010 | 0.007 | 795 / 720                         |
| 1602 | 3.09 | 0.70 | 0.29 | 0.07 | なし   | 0.008 | 0.009 | 770 / 710                         |

表に示す如く之等は銅及び炭素略一定にして Ni のみ異り之により銅の共存せる場合の Ni の影響を知り得るのである。第7表は之等の実験結果を示し第4圖に其の焼入状態圖を示す。

第7表 ニッケル銅鋼の実験結果

| 試料番号 | Ni%  | Cu%  | C%   | 焼入温度°C | 実験番号 | 冷却速度°C/秒 | Ar' Ar'' | 試料顯微鏡組織   |
|------|------|------|------|--------|------|----------|----------|-----------|
| 1606 | 1.09 | 0.97 | 0.30 | 910    | 1    | 1,000    | 368      | T痕跡M残り    |
|      |      |      |      |        | 2    | 740      | 370      | T1% M99%  |
|      |      |      |      |        | 3    | 625      | 340      | T2~3% M残り |
|      |      |      |      |        | 4    | 357      | 550      | M1~2%     |
|      |      |      |      |        | 5    | 244      | 590      | — Mなし     |
| 1610 | 2.04 | 0.97 | 0.28 | 850    | 1    | 635      | 335      | T痕跡M残り    |
|      |      |      |      |        | 2    | 500      | 320      | T1~2% M残り |
|      |      |      |      |        | 3    | 236      | 550      | M 1%      |
|      |      |      |      |        | 4    | 143      | 587      | — Mなし     |
| 1602 | 3.09 | 0.70 | 0.29 | 800    | 1    | 1,000    | —        | M 100%    |
|      |      |      |      |        | 2    | 808      | —        | M 100%    |
|      |      |      |      |        | 3    | 465      | 310      | T痕跡M残り    |
|      |      |      |      |        | 4    | 333      | 315      | T1% M99%  |
|      |      |      |      |        | 5    | 238      | 515      | M1%       |
|      |      |      |      |        | 6    | 178      | 538      | M痕跡       |

顯微鏡組織中の M 及び T の符號は夫々マルテンサイト及びトルースタイドを示し、附記數字は其の面積により推定したる量の百分率である。

之等は何れも明瞭に二段變態を示し異状を認めない。第8表は之より求めたる各試料の上部及び下部臨界冷却速度を示す。又第5圖は之を圖示し銅鋼(C 0.3%, Cu 0.9%)の臨界冷却速度に及ぼす Ni の影響を示す。之を見るに之等曲線の傾向は炭素鋼に於ける Ni の影響と良く類似し只含有銅の影響に應じて左方に變移して居る。

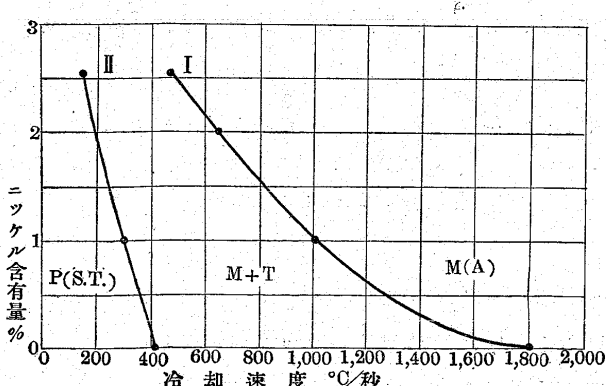
第8表 ニッケル銅鋼の臨界冷却速度

| 試料番号 | Ni%  | Cu%  | C%   | 下部臨界冷却速度°C/秒 | 上部臨界冷却速度°C/秒 |
|------|------|------|------|--------------|--------------|
| 1606 | 1.09 | 0.97 | 0.30 | 300          | 1,000        |
| 1610 | 2.04 | 0.97 | 0.28 | 200          | 650          |
| 1602 | 3.09 | 0.70 | 0.29 | 150          | 470          |

次に之等の臨界冷却速度と其の Ni と銅との總量と同一量の Ni を有する Ni 鋼の臨界冷却速度とを比較するに第6圖に示す如くそれ等は殆んど等しく焼入に及ぼす影響は Ni の一部を銅にて置換するも餘り異なることを證明しえた。

### 3. ニッケル、クロム及モリブデンの影響

第5圖 銅鋼(C 0.3% Cu 0.9%)の臨界冷却速度に及ぼすニッケルの影響



Mo は Ni・Cr 鋼に附加せられて其の燒戻脆性を防止する外、一般に鋼の耐熱性を良好にする等極めて優秀なる性質を與へるので Ni・Cr・Mo 鋼は近來兵器其の他重要構造物に多く用ひられて居る。吉川博士<sup>14)</sup>は Mo は Ni・Cr 鋼の彈性限及び衝撃抗力を高めると云つた。又 Dreibholz 及び Gnertler<sup>15)</sup>は Ni・Cr 鋼と Ni・Cr・Mo 鋼との機械的性質を比較し後者は前者に比し彈性限、抗張力大きく而も延び及び絞りは殆んど不變なることを認めた。更に Knerr<sup>16)</sup> Maurer 及び Korschau<sup>17)</sup>は本鋼の機械的性質良好なることを述べ之を大いに推奨して居る。次に之等の焼入效果は佐々川博士<sup>18)</sup> Chase<sup>19)</sup> 其の他諸氏の實驗に明かなる如く極めて大であつて大型のものも内部迄一様に硬化し得るのである。著者は第9表に示す7種の試料に就て次の如く各元等の影響を順次實驗した。先づ Cr・Mo 及び炭素一定なる鋼に於ける Ni の影響を研究し次に他元素を一定とした場合の Cr の影響及び Mo の影響を求めた。

第9表 ニッケルグロムモリブデン鋼の化學成分及變態點

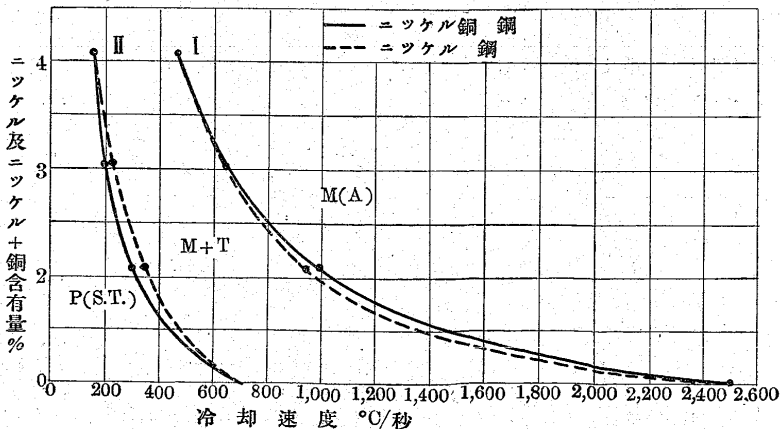
| 試料番号 | Ni%  | Cr%  | Mo%  | C%   | Si%  | Mn% | P%    | S%    | 變態點°C | Ac <sub>3</sub> | Ac <sub>1</sub> |
|------|------|------|------|------|------|-----|-------|-------|-------|-----------------|-----------------|
| 1713 | 1.00 | 0.64 | 0.36 | 0.28 | 0.08 | 痕跡  | 0.023 | 0.005 | 827   | 750             |                 |
| 1705 | 1.81 | 0.50 | 0.32 | 0.30 | 0.10 | なし  | 0.010 | 0.009 | 810   | 745             |                 |
| 1701 | 2.87 | 0.39 | 0.32 | 0.33 | 0.12 | "   | 0.014 | 0.014 | 785   | 735             |                 |
| 1711 | 2.09 | 0.89 | 0.39 | 0.27 | 0.12 | 痕跡  | 0.024 | 0.003 | 810   | 745             |                 |
| 177  | 2.07 | 1.34 | 0.34 | 0.33 | 0.04 | なし  | 0.010 | 0.009 | 800   | 760             |                 |
| 1714 | 2.09 | 0.64 | 0.72 | 0.33 | 0.06 | 痕跡  | 0.020 | 0.003 | 800   | 745             |                 |
| 1708 | 1.88 | 0.75 | 0.99 | 0.30 | 0.08 | "   | 0.027 | 0.006 | 815   | 745             |                 |

1) 一定のクロム、モリブデン及び炭素を含有する鋼の焼入に及ぼすニッケルの影響

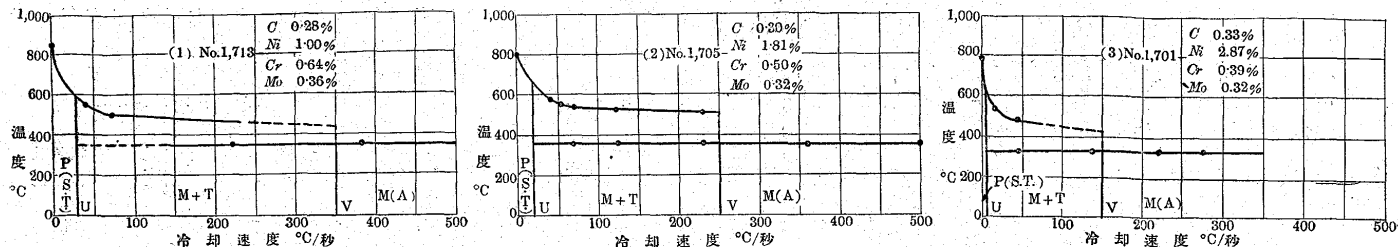
供試材料は第9表の内試料 1,713, 1,705 及び 1,701 にして之等は大體 C 0.3% Cr 0.5%, Mo 0.35% を含有して居る。第10表にそれ等の實驗結果を示し第7圖に焼入狀態圖を示す。

之を見るに本鋼は餘り明瞭ではないが兩臨界冷却速度間にては大體二段變態をなして居る。次に第11表は之より

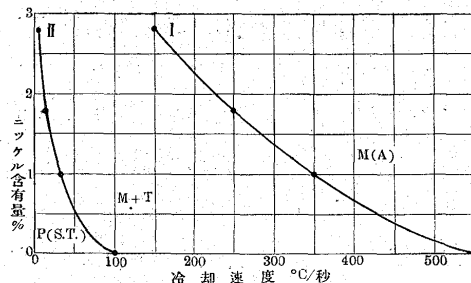
第6圖 ニッケル鋼及びニッケル銅鋼の臨界冷却速度



第7圖 ニッケルクロムモリブデン鋼の焼入状態図



第8圖 クロムモリブデン鋼  
(C 0.3%, Cr 0.5%, Mo 0.35%)の臨界冷却速度に及ぼすニッケルの影響



第10表 ニッケルクロムモリブデン鋼の実験結果(I)

| 試料番号 | Ni%  | Cr%  | Mo%  | C%   | 焼入温度 °C | 実験番号 | 冷却速度 °C/sec | 変態點 °C    | 試料顯微鏡組織   |
|------|------|------|------|------|---------|------|-------------|-----------|-----------|
| 1713 | 1.00 | 0.64 | 0.36 | 0.28 | 885     | 1    | 385         | —         | M100%     |
|      |      |      |      |      |         | 2    | 285         | T1-2% M残り |           |
|      |      |      |      |      |         | 3    | 74          | 505       | M4-5%     |
|      |      |      |      |      |         | 4    | 40          | 545       | M2-3%     |
|      |      |      |      |      |         | 5    | 16          | —         | Mなし       |
| 1705 | 1.81 | 0.50 | 0.32 | 0.30 | 840     | 1    | 500         | —         | M100%     |
|      |      |      |      |      |         | 2    | 357         | —         | M100%     |
|      |      |      |      |      |         | 3    | 227         | 500       | T5% M95%  |
|      |      |      |      |      |         | 4    | 118         | 530       | T30% M70% |
|      |      |      |      |      |         | 5    | 56          | 560       | M3-4%     |
|      |      |      |      |      |         | 6    | 40          | 575       | M2-3%     |
|      |      |      |      |      |         | 7    | 19          | —         | M痕跡       |
| 1701 | 2.87 | 0.39 | 0.32 | 0.33 | 835     | 1    | 274         | —         | M100%     |
|      |      |      |      |      |         | 2    | 218         | —         | M100%     |
|      |      |      |      |      |         | 3    | 137         | —         | T痕跡 M残り   |
|      |      |      |      |      |         | 4    | 45          | 475       | T2-3% M残り |
|      |      |      |      |      |         | 5    | 13          | 538       | M1-2%     |

顯微鏡組織中のM及びTの符號は夫々マルテンサイト及びトルースタイトを示し、附記數字は其の面積により推定したる量の百分率である。

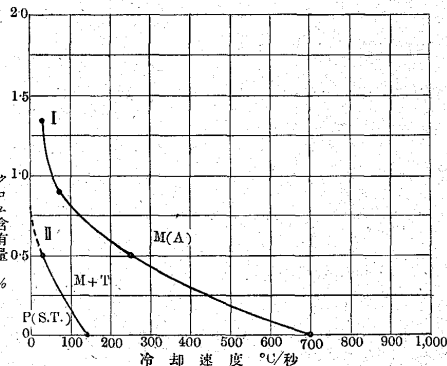
求めたる各試料の臨界冷却速度を示し第8圖は之を圖示したるものなり。

第11表 ニッケルクロムモリブデン鋼の臨界冷却速度(I)

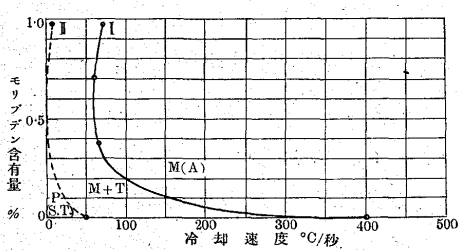
| 試料番号 | Ni%  | Cr%  | Mo%  | C%   | 下部臨界冷却速度 °C/sec | 上部臨界冷却速度 °C/sec |
|------|------|------|------|------|-----------------|-----------------|
| 1713 | 1.00 | 0.64 | 0.36 | 0.28 | 30              | 350             |
| 1705 | 1.81 | 0.50 | 0.32 | 0.30 | 15              | 250             |
| 1701 | 2.87 | 0.39 | 0.32 | 0.33 | 5               | 150             |

圖中曲線I及びIIはCr・Mo鋼の臨界冷却速度に及ぼすNiの影響を示すものにして之等は前述の場合と同様炭

第9圖 ニッケルモリブデン鋼  
(C 0.3%, Ni 2.0%, Mo 0.35%)の臨界冷却速度に及ぼすクロムの影響



第10圖 ニッケルクロム鋼  
(C 0.3%, Ni 2.0%, Cr 0.75%)の臨界冷却速度に及ぼすモリブデンの影響



素鋼に於けるNiのみの影響と略同傾向である。然して其の影響の程度はCrとMoの含有量に應じて大となつて居る。試料1,701の下部臨界冷却速度は表に示す如く極めて小なる爲め數値の正確を期し得ない。

2) 一定のニッケル、モリブデン及び炭素を含有する鋼の焼入に及ぼすクロムの影響

供試材料は第9表に示す試料1,705, 1,711及び1,707にして之等は何れもC0.3%, Ni 2%, Mo 0.35%を含有して居る。第12表はそれ等の實験結果を示す。

第12表 ニッケルクロムモリブデン鋼の實験結果(II)

| 試料番号 | Cr%  | Ni%  | Mo%  | C%   | 焼入温度 °C | 実験番号 | 冷却速度 °C/sec | 変態點 °C    | 試料顯微鏡組織 |
|------|------|------|------|------|---------|------|-------------|-----------|---------|
| 1705 | 0.50 | 1.81 | 0.32 | 0.30 | 840     | 1    | 71          | —         | M100%   |
|      |      |      |      |      |         | 2    | 48          | T2-3% M残り |         |
|      |      |      |      |      |         | 3    | 13          | —         | M5%     |
| 1707 | 1.34 | 2.07 | 0.34 | 0.33 | 850     | 1    | 139         | —         | M100%   |
|      |      |      |      |      |         | 2    | 48          | —         | M100%   |
|      |      |      |      |      |         | 3    | 29          | —         | T痕跡 M残り |

\* 本試料の實験結果は第10表に示せるを以て省略した。

顯微鏡組織中のM及びTの符號は夫々マルテンサイト及びトルースタイトを示し、附記數字は其の面積により推定したる量の百分率である。

之等の試料は極めて焼入能力大なる爲め本實験にては變態點を明瞭に測定し得なかつたので焼入状態圖を省いた。次に第13表にはそれ等の臨界冷却速度を示し第9圖はそ

第 13 表 ニッケルクロムモリブデン鋼の臨界冷却速度 (II)

| 試料番号 | Cr%  | Ni%  | Mo%  | C%   | 下部臨界         | 上部臨界         |
|------|------|------|------|------|--------------|--------------|
|      |      |      |      |      | 冷却速度<br>°C/秒 | 冷却速度<br>°C/秒 |
| 1705 | 0.50 | 1.81 | 0.32 | 0.30 | 30           | 250          |
| 1711 | 0.89 | 2.09 | 0.39 | 0.27 | —            | 65           |
| 1707 | 1.34 | 2.07 | 0.34 | 0.33 | —            | 30           |

れを圖示し  $Ni \cdot Mo$  鋼の臨界冷却速度に及ぼす  $Cr$  の影響を示した。

之を見るに  $Ni$  及び  $Mo$  の共存せる場合の  $Cr$  の影響は之等の無き場合即ち炭素鋼に於ける  $Cr$  の影響と略同傾向にして其の影響の程度は  $Ni$  及び  $Mo$  の量に應じて大となって居ること他の場合と同様である。猶試料 1,711 及び 1,707 の下部臨界冷却速度は極めて小さく本装置では測定不可能であったので推定に基き點線で示した。

3) 一定のニッケル、クロム及び炭素を含有する鋼の焼入に及ぼすモリブデンの影響

供試材料は第 9 表の内試料 1,711, 1,714 及び 1,708 にして之等は何れも約  $C 0.3\%$ ,  $Ni 2\%$ ,  $Cr 0.75\%$  を含有して居る。第 14 表にそれ等の實驗結果を示す。又之

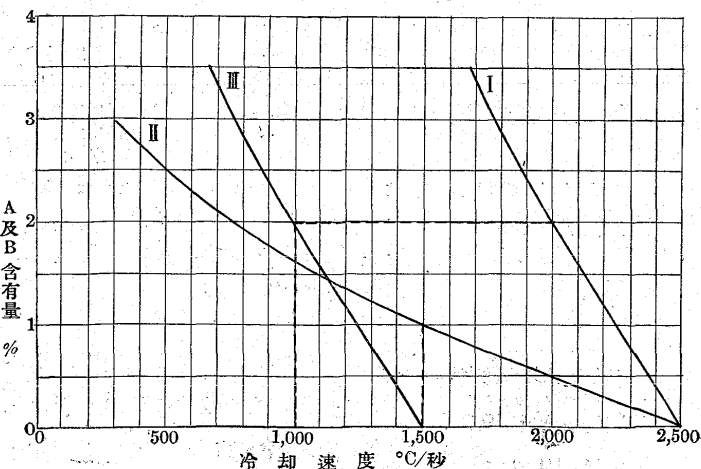
第 14 表 ニッケルクロムモリブデン鋼の實驗結果 (III)

| 試料番号 | Mo%  | Ni%  | Cr%  | C%   | 燒入溫度 | 實驗番號 | 冷却速度 | 變態點°C          | 試料顯微鏡組織   |
|------|------|------|------|------|------|------|------|----------------|-----------|
|      |      |      |      |      | °C   | 番號   | °C/秒 | Ar' Ar''       |           |
| 1711 | 0.39 | 2.09 | 0.89 | 0.27 | 860  |      |      |                |           |
| 1714 | 0.72 | 2.09 | 0.64 | 0.33 | 850  | I    | 65   | —              | 335 M100% |
|      |      |      |      |      |      | 2    | 40   | 330 T2-3% M 残り |           |
|      |      |      |      |      |      | 3    | 11   | M30%           |           |
| 1708 | 0.99 | 1.88 | 0.75 | 0.30 | 865  | 1    | 83   | —              | 380 M100% |
|      |      |      |      |      |      | 2    | 61   | 352 T1-2% M 残り |           |
|      |      |      |      |      |      | 3    | 53   | 380 T3-4% M 残り |           |
|      |      |      |      |      |      | 4    | 32   | 475 M1-2%      |           |
|      |      |      |      |      |      | 5    | 12   | 505 M1%        |           |

\* 本試料の實驗結果は第 12 表に示せるを以て省略した。

顯微鏡組織中のM及びTの符號は夫々マルテンサイト及びトルースタイトを示し、附記數字は其の面積により推定したる量の百分率である。

第 11 圖 畫圖的に鋼の臨界冷却速度を求むる方法



等も前同様變態點を明瞭に求め得なかつたので焼入狀態圖は全部省いた。次に第 15 表は各試料の臨界冷却速度を示す。

第 15 表 ニッケルクロムモリブデン鋼の臨界冷却速度 (III)

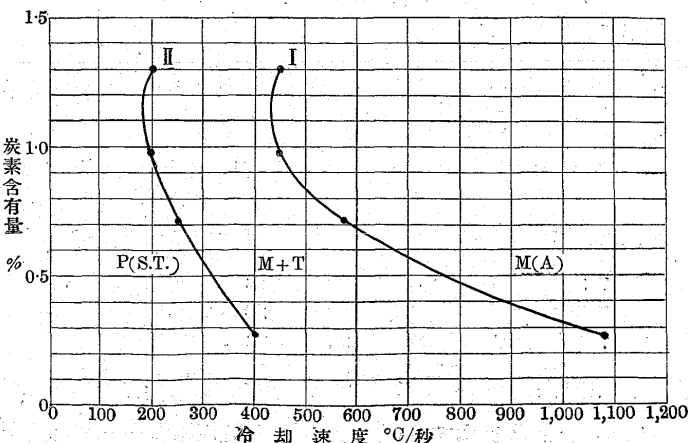
| 試料番号 | Mo%  | Ni%  | Cr%  | C%   | 下部臨界         | 上部臨界         |
|------|------|------|------|------|--------------|--------------|
|      |      |      |      |      | 冷却速度<br>°C/秒 | 冷却速度<br>°C/秒 |
| 1711 | 0.39 | 2.09 | 0.89 | 0.27 | —            | 65           |
| 1714 | 0.72 | 2.09 | 0.64 | 0.33 | —            | 60           |
| 1708 | 0.99 | 1.88 | 0.75 | 0.30 | 5            | 70           |

猶試料 1,714 の下部臨界冷却速度は前同様の理由で測定出来なかつた。又第 10 圖は  $Ni \cdot Cr$  鋼の臨界冷却速度に及ぼす  $Mo$  の影響を示すものにして、圖中曲線 I 及び II を見るに之は炭素鋼に及ぼす  $Mo$  單獨の影響と極めて類似せる傾向を示して居る。即ち  $Ni \cdot Cr$  鋼の臨界冷却速度は少量のモリブデンの添加により、著しく影響せられて小となるも、約 0.5% を限度としてそれ以上の場合は却て大となる。之は構造用  $Ni \cdot Cr \cdot Mo$  鋼の  $Mo$  含有量は 0.5% 迄が最も有效であることを示すのである。

本現象は第 1 報にて詳述せる如く  $Mo$  及び  $Cr$  が高溫にても溶解極めて困難なる炭化物を生成するによるものと思考せらる。而して  $Mo$  のみの場合は第 1 報第 22 圖に見る如く  $Mo$  約 1.5% にて臨界冷却速度最小となりたるも、本鋼は共存元素たる  $Cr$  も亦該作用を助長せしむる爲め少量にて既に其の影響が現はれたのである。猶之等試料の下部臨界冷却速度は正確なる測定不可能であったので推定して點線で之を表示した。

#### 4. 總 括

以上  $Ni \cdot Cr$  鋼,  $Ni \cdot Cu$  鋼及び  $Ni \cdot Cr \cdot Mo$  鋼に就き實驗せる結果を綜合するに斯くの如く二種以上の元素の共存する場合各元素の鋼の臨界冷却速度に及ぼす影響はそれ

第 13 圖 ニッケル鋼 ( $Ni 1.6\%$ ) の臨界冷却速度に及ぼす炭素の影響

等が單獨にて炭素鋼に及ぼすものと略同一傾向にして其の影響の程度は兩元素の影響の和に近いのである。仍て之等より考察するに特殊元素二種以上を含有する鋼の臨界冷却速度は、各元素が單獨に炭素鋼に及ぼす影響を知る時には次の如く畫圖的に求められる。今假に A 及び B 兩元素が炭素鋼の臨界冷却速度に及ぼす影響を夫々第 11 圖曲線 I 及び II とした場合 A を 2%, B を 1% 含有する特殊鋼の臨界冷却速度を求めんとする例を述べる。但し此場合炭素は總て一定と見做した。前述の結果より B 1% を含有する鋼の臨界冷却速度に及ぼす A の影響を示す曲線は I に平行なるものである。然るに其の影響の程度は共存元素即ち B 1% による。仍て II より B 1% の影響を求むれば 1,500 °C/秒であるから、横軸基線上其の點を通り I に平行なる III を引けば之は B 1% 鋼に及ぼす A の影響を示すものである。故に曲線 III 上 2% の冷却速度は求むる鋼の臨界冷却速度にして、本例では圖の如く 1,000 °C/秒となるのである。三元素の場合は稍複雑となるが大體同様の方法にて求められる。之等の數値は概括的な見當をつけ得る程度のものに過ぎないのであるが、斯くの如く單元素の影響より多元素の場合を畫圖的に求められることは、極めて興味がある事實で著者の研究により創述し得たものと思考する。

### III. 特殊鋼に於ける炭素の影響

前述諸實驗は炭素一定なる鋼に就て行つたが本章では炭素量異なる特殊鋼の臨界冷却速度に關する實驗結果を述べる  
實驗試料は Ni 1.5% 及び Cr 1% を含有し炭素約 0.3%, 0.6%, 0.9% 及 1.2% の組成を目標として調製した。

#### 1. ニッケル鋼に及ぼす炭素の影響

供試材料は第 16 表に示す 4 種にして何れも Ni 含有量は約 1.6% である。

Scott<sup>20)</sup> Aall<sup>21)</sup> 及び加瀬博士<sup>22)</sup> の研究によれば鋼の共析組成はニッケル量に應じて含有炭素量が減少するもの

であるから試料 108 及び 111 は亞共析鋼なるも 112 及

第 16 表 ニッケル鋼の化學成分及變態點

| 試料番號 | C%   | Ni%  | Si%  | Mn% | P%    | S%    | 變態點°C           |                 |
|------|------|------|------|-----|-------|-------|-----------------|-----------------|
|      |      |      |      |     |       |       | Ac <sub>3</sub> | Ac <sub>1</sub> |
| 108  | 0.28 | 1.53 | 0.06 | 痕跡  | 0.020 | 0.006 | 806             | 724             |
| 111  | 0.72 | 1.64 | 0.07 | なし  | 0.008 | 0.007 | 745             | 720             |
| 112  | 0.91 | 1.67 | 0.10 | "   | 0.009 | 0.008 | 760             | 732             |
| 113  | 1.30 | 1.57 | 0.09 | "   | 0.010 | 0.009 | 757             | 726             |

び 113 は何れも過共析鋼に屬する。第 17 表に之等の實驗結果を第 12 圖には其の焼入狀態圖を示す。之等は何れも 2 段變態を生じ異狀は示さない。

第 17 表 ニッケル鋼の實驗結果

| 試料番號  | C%   | Ni%  | 燒入溫度 °C | 實驗番號 | 冷却速度 °C/秒 | 變態點°C |      | 試料顯微鏡組織     |
|-------|------|------|---------|------|-----------|-------|------|-------------|
|       |      |      |         |      |           | Ar'   | Ar'' |             |
| * 108 | 0.72 | 1.53 | 800     |      |           |       |      |             |
| 111   | 0.91 | 1.64 | 800     | 1    | 606       | —     | 194  | M 100%      |
|       |      |      |         | 2    | 570       |       | 208  | T 痕跡 M 残り   |
|       |      |      |         | 3    | 500       |       | 191  | T 1-2% M 残り |
|       |      |      |         | 4    | 357       | 491   |      | M 30%       |
|       |      |      |         | 5    | 333       | 555   |      | M 痕跡        |
| 112   | 0.91 | 1.67 | 800     | 1    | 570       | —     | 167  | M 100%      |
|       |      |      |         | 2    | 435       |       | 172  | T 1% M 99%  |
|       |      |      |         | 3    | 400       |       | 172  | T 1-2% M 残り |
|       |      |      |         | 4    | 303       |       | 176  | T 2-3% M 残り |
|       |      |      |         | 5    | 260       | 493   |      | T 20% M 80% |
|       |      |      |         | 6    | 250       | 500   |      | M 20%       |
|       |      |      |         | 7    | 140       | 610   | —    | M なし        |
| 113   | 1.30 | 1.57 | 800     | 1    | 500       | —     | 160  | M 100%      |
|       |      |      |         | 2    | 417       |       | 158  | T 1% M 99%  |
|       |      |      |         | 3    | 370       |       | 163  | T 1-2% M 残り |
|       |      |      |         | 4    | 357       | 461   |      | T 4-5% M 残り |
|       |      |      |         | 5    | 250       | 514   |      | M 40%       |
|       |      |      |         | 6    | 192       | 573   | —    | M なし        |

\* 本試料の實驗結果は第 1 報第 11 表に示せるを以て省略した。  
顯微鏡組織中の M 及び T の符號は夫々マルテンサイト及びトルースタイトを示し、附記數字は其の面積により推定したる量の百分率である。

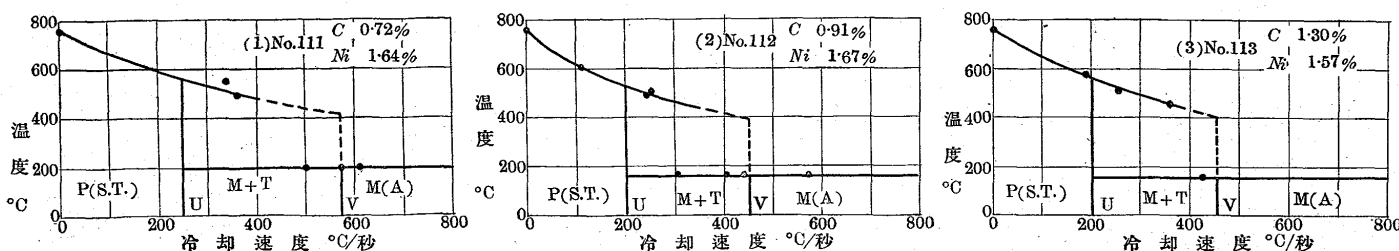
次に第 18 表に之より求めたる各試料の臨界冷却速度を示し、第 13 圖は之を圖示し Ni 鋼の臨界冷却速度に及ぼす炭素の影響を示す。

第 18 表 ニッケル鋼の臨界冷却速度

| 試料番號 | C%   | Ni%  | 下部臨界冷却速度 °C/秒 |   | 上部臨界冷却速度 °C/秒 |   |
|------|------|------|---------------|---|---------------|---|
|      |      |      | U             | V | U             | V |
| 108  | 0.28 | 1.53 | 400           |   | 1,080         |   |
| 111  | 0.72 | 1.64 | 250           |   | 570           |   |
| 112  | 0.91 | 1.67 | 200           |   | 450           |   |
| 113  | 1.30 | 1.57 | 200           |   | 450           |   |

圖中曲線 I を見るに上部臨界冷却速度は初め炭素の增加

第 12 圖 ニッケル鋼の焼入狀態圖



に従ひ、著しく小となるも約 0.85% 以上にては殆んど変化しない。即ち本鋼の臨界冷却速度は炭素鋼に於けると同様共析組成（本鋼共析組成の炭素量は 0.85% である）に至る迄は減少するも過共析組成にては炭素鋼と異り大とならず殆んど一定なのである。今此理由を推定すれば過共析 Ni 鋼に於ては加熱の際 Ni の存在によりセメンタイト容易に分解し焼入に際し核作用をしない爲めと思はれる。又曲線 II 即ち下部臨界冷却速度も上部臨界冷却速度と全く同様である。

## 2. クロム鋼に及ぼす炭素の影響

Cr 鋼の臨界冷却速度に及ぼす炭素の影響に就ては既に Wever 及び Jellinghaus<sup>23)</sup> Esser, Eilender 及び Majert<sup>24)</sup> 等の実験がある。其の内前者は特に本問題に關して極めて正確なる研究をなし Cr を 0.5%, 0.75%, 1.2% 及び 3% 含有する鋼の下部臨界冷却速度に及ぼす炭素の影響を測定した。

本研究に於ては第 19 表に示す 4 種の試料を実験した。

第 19 表 クロム鋼の化學成分及變態點

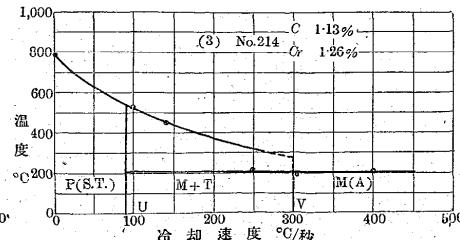
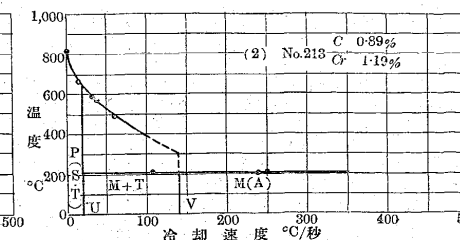
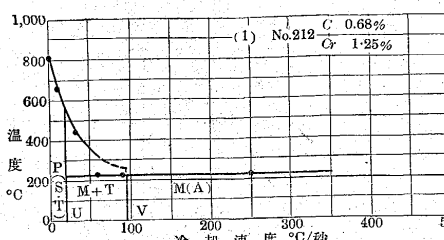
| 試料番號 | C%   | Cr%  | Si%  | Mn% | P%    | S%    | 變態點°C           |                 |
|------|------|------|------|-----|-------|-------|-----------------|-----------------|
|      |      |      |      |     |       |       | Ac <sub>3</sub> | Ac <sub>1</sub> |
| 209  | 0.30 | 1.09 | 0.09 | 痕跡  | 0.010 | 0.001 | 840             | 770             |
| 212  | 0.68 | 1.25 | 0.05 | なし  | 0.007 | 0.010 | 810             | 780             |
| 213  | 0.89 | 1.19 | 0.09 | "   | 0.008 | 0.009 | 810             | 780             |
| 214  | 1.13 | 1.26 | 0.11 | "   | 0.010 | 0.011 | 797             | 770             |

それ等の Cr 含有量は約 1.2% である。Russell<sup>25)</sup> Monypenny<sup>26)</sup> Oberhoffer, Daeves 及び Rapatz<sup>27)</sup> によれば Cr を 1.2% 含有する鋼の共析組成は炭素約 0.8% であるから、試料 209 及び 212 は亞共析組成、試料 213 及び 214 は過共析組成に屬する。

第 20 表は其の実験結果第 14 圖に焼入状態圖を示した之を見るに大體 2 段變態の傾向を示して居るが之等の變態熱は極めて徐々に變化する爲め、本装置では正確なる測定出来ず此結果は信頼し得ない。之は含有 Cr による炭化物生成に基づくものと思考する。

次に第 21 表は之より求めたる各試料の臨界冷却速度を

第 14 圖 クロム鋼の焼入状態圖



示し Cr 鋼の臨界冷却速度に及ぼす炭素の影響を示した。

第 20 表 クロム鋼の実験結果

| 試料番號  | C%   | Cr%  | 焼入溫度°C | 實驗番號 | 冷却速度°C/秒 | 變態點°C     |           | 試料顯微鏡組織 |
|-------|------|------|--------|------|----------|-----------|-----------|---------|
|       |      |      |        |      |          | Ar'       | Ar''      |         |
| * 209 | 0.30 | 1.09 | 840    | 1    | 250      | —         | 227       | M100%   |
|       |      |      |        | 2    | 91       | T痕跡       | M残り       |         |
|       |      |      |        | 3    | 59       | 227       | T2-3% M残り |         |
|       |      |      |        | 4    | 48       | T3-4% M残り |           |         |
|       |      |      |        | 5    | 33       | 448       | M5-6%     |         |
|       |      |      |        | 6    | 15       | 663       | — Mなし     |         |
| 212   | 0.68 | 1.25 | 840    | 1    | 250      | —         | 219       | M100%   |
|       |      |      |        | 2    | 108      | 208       | T2-3% M残り |         |
|       |      |      |        | 3    | 59       | 492       | M40%      |         |
|       |      |      |        | 4    | 34       | 589       | M1-2%     |         |
|       |      |      |        | 5    | 15       | 663       | — Mなし     |         |
| 213   | 0.89 | 1.19 | 835    | 1    | 250      | —         | 219       | M100%   |
|       |      |      |        | 2    | 108      | 208       | T2-3% M残り |         |
|       |      |      |        | 3    | 59       | 492       | M40%      |         |
|       |      |      |        | 4    | 34       | 589       | M1-2%     |         |
|       |      |      |        | 5    | 15       | 663       | — Mなし     |         |
| 214   | 1.13 | 1.26 | 815    | 1    | 400      | —         | 210       | M100%   |
|       |      |      |        | 2    | 303      | 190       | M100%     |         |
|       |      |      |        | 3    | 244      | 214       | T1% M99%  |         |
|       |      |      |        | 4    | 139      | 530       | M20%      |         |
|       |      |      |        | 5    | 98       | 573       | M痕跡       |         |

\* 本試料の実験結果は第 1 報第 14 表に示せるを以て省略した。顯微鏡組織中の M 及び T の符號は夫々マルテンサイト及びトルースタイトを示し、附記数字は其の面積により推定したる量の百分率である。

第 21 表 クロム鋼の臨界冷却速度

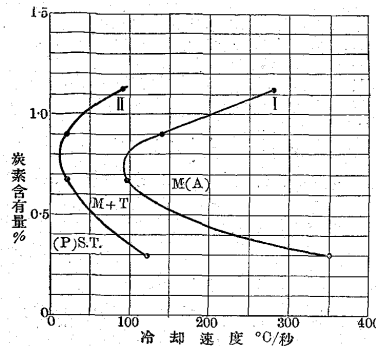
| 試料番號 | C%   | Cr%  | 下部臨界冷却速度°C/秒 |          | 上部臨界冷却速度°C/秒 |          |
|------|------|------|--------------|----------|--------------|----------|
|      |      |      | 冷卻速度°C/秒     | 冷卻速度°C/秒 | 冷卻速度°C/秒     | 冷卻速度°C/秒 |
| 209  | 0.30 | 1.09 | 120          | —        | 350          | —        |
| 212  | 0.68 | 1.25 | 20           | —        | 95           | —        |
| 213  | 0.89 | 1.19 | 20           | —        | 140          | —        |
| 214  | 1.13 | 1.26 | 90           | —        | 300          | —        |

之を見るに Cr 鋼の臨界冷却速度は其の炭素含有量の増加に伴ひ初め小となるも、約 0.75% を限度としそれ以上の場合は却て大となり 1.2% にては 0.3% の際と殆んど同じ値となる。之は前述諸研究者の結果と大體一致する。臨界冷却速度の最小値が炭素 0.75% の鋼に存する理由は共析組成の炭素が恰も此炭素量に減少した爲めである。又過共析鋼の臨界冷却速度が著しく大となるのは殘留セメンタイトに依る外、クロムの炭化物が生成する爲めであらうと思考する。

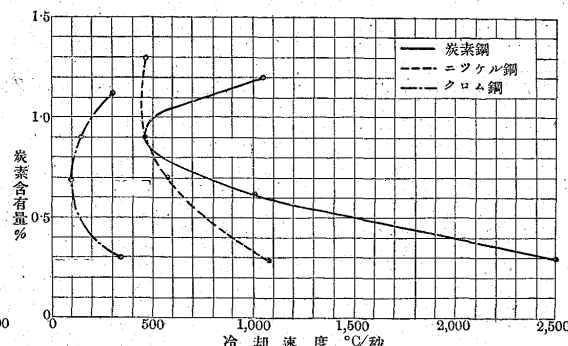
## 3. 総括

以上述べた Ni 鋼及び Cr 鋼の臨界冷却速度に及ぼす炭素の影響を比較せん爲め第 16 圖を作製した。

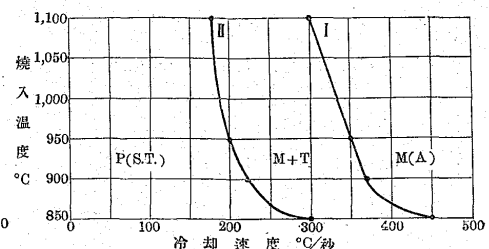
第15図 クロム鋼の臨界冷却速度に及ぼす炭素の影響



第16図 各種鋼の上部臨界冷却速度に及ぼす炭素の影響



第17図 炭素鋼の臨界冷却速度に及ぼす焼入温度の影響



之を見るに何れも初め炭素を増すに従て小となるも、其の変化の程度は炭素鋼最も大きく Ni 鋼之に次ぎ Cr 鋼最小である。然るに更に炭素量を増すときは何れも共析組成を限度としそれ以上にては小とならず、炭素鋼及び Cr 鋼は却て大きくなるのである。そして其の際の影響程度は炭素鋼の場合特に著しい。

#### IV. 焼入温度の高低による影響

鋼の焼入に及ぼす焼入温度の高低は冷却速度及び加熱時間と共に其の影響極めて大きいのである。一般に鋼は高温に加熱すると表面に酸化及び脱炭層を生ずる外粒形の成長を起す爲め、其の焼入組織も不均一或は粗大となる。故に之等より考へると焼入温度は可及的低きを可とするのであるが工場に於て大きな鋼材又は日常種々なる形狀を有する多數の材料を處理し加之も作業を單一化して完全に之を焼入する爲め變態點上或る適當の温度より行ふことが必要である。仍て現場實地作業にては大體變態點上 50°C を標準として居るので著者の實驗に於ても専ら之を基準としたのであつた。

以上の如く焼入温度は焼入作業に於て最も重要な要素である故に之に關する研究は頗る多い、松下博士<sup>28)</sup>は磁氣的硬度により炭素鋼の有效焼入温度を決定した。其の結果によれば炭素多き鋼は高溫度より焼入すると殘留オーステナイトが増し急に保磁力が減少する。Kühnel<sup>29)</sup>は C 0.3% 及び 0.5% の炭素鋼を各溫度より焼入し、抗張力伸び及び絞りの變化を檢べた。其の結果後者は前者より最高抗張力を得る焼入温度が低いが、之は  $Ac_3$  點が低い爲めであらうと説明した。

又 Jungbluth<sup>30)</sup> は C 0.5%, Ni 5% 鋼を種々の溫度より異った方法で焼入し各冷却方法に於ける最高硬度を得る焼入温度を求め、其の結果水冷の場合は 750°C、油及

び壓縮空氣冷却は 900°C 室冷では 1,100°C なることを確めた。Esser 及び Majert<sup>31)</sup> は炭素鋼の焼入作用に及ぼす焼入温度の影響に關して詳細なる研究を行ひ種々の冷却速度に於ける共析鋼の焼入温度の變化による狀態圖を求めた。村上及び八田兩氏<sup>32)</sup>は焼入の際のオーステナイトのマルテンサイト化に伴ふ膨脹速度及び膨脹量に及ぼす焼入温度の影響を實驗した。又 Houdremont, Bennek 及び Schrader<sup>33)</sup> は V 鋼及び W 鋼の如き特殊炭化物を生成する鋼に及ぼす焼入温度の影響を研究した。本實驗に於て著者は先づ共析組成の純炭素鋼にして第 22 表に其の化學成分及び變態點を示す。

#### 1. 炭素鋼

供試材料は共析組成の純炭素鋼にして第 22 表に其の化學成分及び變態點を示す。

第22表 炭素鋼の化學成分及變態點

| 試料番號 | C%   | Si%  | Mn% | P%    | S% | 變態點°C  |        |
|------|------|------|-----|-------|----|--------|--------|
|      |      |      |     |       |    | $Ac_3$ | $Ac_1$ |
| .01  | 0.89 | 0.07 | 痕跡  | 0.009 | —  | 770    | 750    |

本實驗に於ては同試料を 1,100, 950, 900°C 及び 850°C の各溫度より焼入した、第 23 表は其の實驗結果を示す。

第23表 炭素鋼の實驗結果

| 燒入溫度 °C | 實驗番號 | 冷却速度 °C/sec | 試料顯微鏡組織 | 燒入溫度 °C | 實驗番號 | 冷却速度 °C/sec | 試料顯微鏡組織   |
|---------|------|-------------|---------|---------|------|-------------|-----------|
| 1,100   | 1    | 294         | T痕跡M残り  | 900     | 1    | 360         | T痕跡M残り    |
|         | 2    | 208         | M20%    |         | 2    | 311         | T1% M99%  |
|         | 3    | 167         | Mなし     |         | 3    | 250         | M40%      |
| 950     | 1    | 330         | T痕跡M残り  |         | 4    | 208         | Mなし       |
|         | 2    | 250         | M95%    |         | 5    | 1,111       | M100%     |
|         | 3    | 233         | M75%    |         | 6    | 500         | M100%     |
|         | 4    | 215         | M2-3%   |         | 7    | 364         | M95% T5%  |
|         | 5    | 185         | Mなし     |         | 8    | 330         | M35% T65% |

顯微鏡組織中の M 及び T の符號は夫々マルテンサイト及びトルースタイトを示し、附記數字は其の面積により推定したる量の百分率である。

し、第 17 圖は各焼入溫度に對する臨界冷却速度を圖示し焼入溫度による影響を示した。

之を見るに初め焼入溫度低き際は臨界冷却速度極めて大なるも上昇するに従ひ急に小となり其の變化の程度は漸次減少する。そして  $1,000^{\circ}\text{C} \sim 1,100^{\circ}\text{C}$  に至れば殆んど一定となりそれ以上にては餘り變化しない様である。これに就て説明せんに焼入溫度高き場合は、次の現象により焼入容易となるものと思考される。

1) 粒成長を生じ粒形大となる爲め變態を阻止し易くなる。

鋼を變態點以上に加熱する場合其のオーステナイト粒は加熱溫度に應じて成長し大となることは既に知られて居る然して粒形の大きさの焼入に及ぼす影響に關しては極めて多くの研究がある。Bain<sup>34)</sup> は焼入直前のオーステナイト粒の粗いものは焼入易く之は焼入溫度より寧ろ最高加熱溫度によると云つた。そして之れは元素の焼入に及ぼす影響を一次的とすれば二次的であつて遺傳性のものではないと説明した。Digges 及び Jordan<sup>35)</sup> は C1% の炭素鋼のオーステナイト粒の焼入に及ぼす影響を研究し其の大なるもの程焼入容易なることを確認した。又 Herty, Mc Bride 及び Hollenback<sup>36)</sup> も同様實驗しオーステナイトの分解は單位容積内の粒の表面の直接函數である。即ち粒の小さき鋼は大なるものに比し表面積大なればオーステナイト分解し易く焼入にくくと云つた。Bain 及び Davenport<sup>37)</sup> は焼入に影響するものは溫度より寧ろオーステナイト粒の大きさであつて、粗い程焼入れ易く粒形が A·S·T·M 標準結晶粒度第 8 番より第 2~6 番迄大きくなると Mn 1% を増した程度の影響を示すと述べて居る。更に最近 Leihner<sup>38)</sup> Houdremont 及び Schrader<sup>39)</sup> 等は種々の實驗を行つて粒形の大なるものは焼入容易なることを確めた。以上より考察するに粒形の影響は焼入效果上重要にして粒形小なる場合は粒境多き爲め之が變態の核となり其の發生を容易にすること及び各粒境は二つの結晶間にて原子的歪状態を生じ變態を促進することによるのであらうと思はれる。

2) 固溶體均一となり變態の核を減少或は皆無ならしめ其の發生を阻止する。

鋼を變態點以上に加熱するもセメントタイト或はフェライトは直に完全には溶解せず多少殘留する。然し更に加熱溫度を高むれば漸次溶解し遂には完全なる均一固溶體となる

故に焼入溫度低くそれ等が殘存せる場合は核作用を起して變態發生を容易にするが、更に高溫にて完全に固溶せしむれば焼入易くなるのである。Esser 及び Majert<sup>31)</sup> は彼等の實驗結果を單に此核作用のみにて説明して居る。

又 Portevin 及び Garvin<sup>40)</sup> は初析晶の存在する場合は焼入溫度が十分高くないと其の影響を生じ易いと云つた。然し之等の影響は後述する特殊炭化物を含有する鋼にては大なるも炭素鋼の際は(1) に比し僅かである。

3) 高溫より冷却する場合は同一冷却方法にても低溫よりの場合に比し變態溫度附近に於ける冷却速度多少大となる。

Bain<sup>34)</sup> の述べし所によれば鋼の焼入作用は  $600 \sim 500^{\circ}\text{C}$  の範圍の冷却速度により最も影響を受けるものである。然るに高溫焼入の際は低溫焼入に比し同方法にても此溫度範圍の速度が多少大であることは一般に考慮され得ることであつて、之も亦多少焼入效果に影響するものと思はれる。然し Davenport 及び Bain<sup>37)</sup> の述べたる如く前二者に比し其の影響微少にして實際上餘り考慮する必要はないであらう。

以上の説明より本實驗結果を考察するに焼入溫度を  $850^{\circ}\text{C}$  より上昇する際最初急に臨界冷却速度小となるは(1) 及び(2) の兩作用が同時に影響する爲めであらう。然して更に焼入溫度を上昇するも其の變化小となり  $1,000^{\circ}\text{C}$  以上に至れば殆んど一定となれるは(2) の理由に基く影響に増減なきは勿論(1) に示した粒成長の現象も林氏<sup>41)</sup> Grossmann<sup>42)</sup> の實驗に明なるが如く之れ以上の溫度にては餘り起らない爲めと思考する。猶之等に關しては未だ實驗不十分なる點あるを以て將來の研究に待つ積りである。

## 2. 鋼 鋼

本鋼の焼入に及ぼす焼入溫度の影響に關する研究は未だ全然文献に見當らない。本實驗の供試材料は第 24 表に化學成分及び變態點を示す試料 0, 605, 603 及び 601 の 4 種にして  $900^{\circ}\text{C}$ ,  $1,000^{\circ}\text{C}$  及び  $1,100^{\circ}\text{C}$  の各溫度より焼入を行つた。第 25 表に其の實驗結果を示し、第 18 圖は焼入狀態圖を示す。

第 24 表 鋼鋼の化學成分及變態點

| 試料<br>番號 | Cu % | C %  | Si % | Mn %  | P % | S %   | 變態點°C           |                 |
|----------|------|------|------|-------|-----|-------|-----------------|-----------------|
|          |      |      |      |       |     |       | Ac <sub>3</sub> | Ac <sub>1</sub> |
| 0 痕跡     | 0.30 | 0.09 | 痕跡   | 0.020 | —   | —     | 850             | 757             |
| 605      | 0.51 | 0.31 | 0.07 | 〃     | 痕跡  | 0.006 | 835             | 753             |
| 603      | 2.01 | 0.30 | 0.08 | 〃     | 〃   | 0.004 | 829             | 748             |
| 601      | 4.18 | 0.31 | 0.07 | なし    | —   | 0.007 | 813             | 745             |

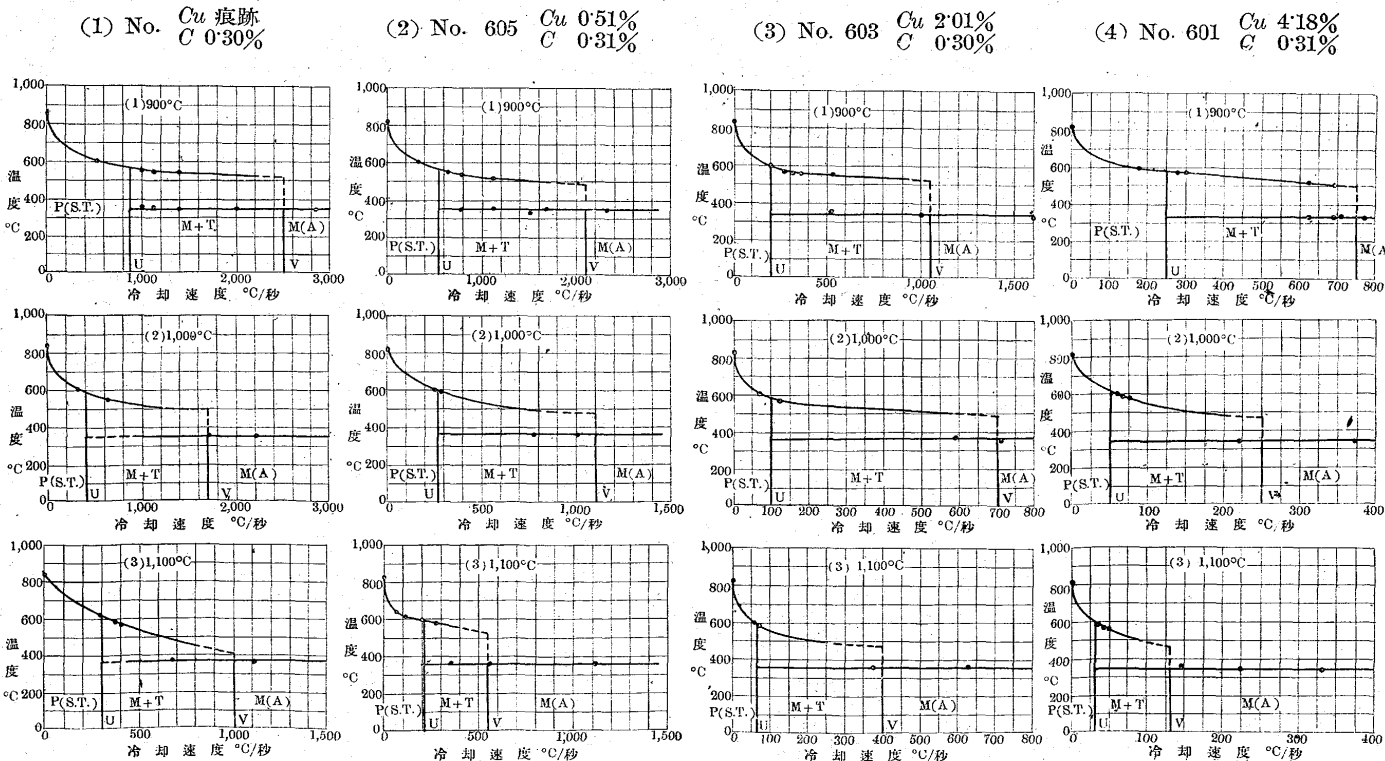
第25表 銅鋼の実験結果

| 試料番号          | Cu % | C % | 焼入温度 °C | 実験番号  | 冷却速度 °C/秒 | 変態点 °C Ar' Ar'' | 試料顯微鏡組織        | 試料番号      | Cu %              | C % | 焼入温度 °C | 実験番号      | 冷却速度 °C/秒 | 変態点 °C Ar' Ar'' | 試料顯微鏡組織 |
|---------------|------|-----|---------|-------|-----------|-----------------|----------------|-----------|-------------------|-----|---------|-----------|-----------|-----------------|---------|
| 0 痕跡          | 0.30 | 900 | 1       | 2,857 | —         | 340             | M100%          | 5         | 322               | 577 | —       | —         | —         | M2-3%           |         |
|               |      |     | 2       | 2,000 | —         | 350             | M95% T5%       | 6         | 278               | 568 | —       | —         | —         | M1%             |         |
|               |      |     | 3       | 1,420 | 520       | 350             | M65% T35%      | 7         | 208               | 600 | —       | —         | —         | M痕跡             |         |
|               |      |     | 4       | 1,177 | 550       | 363             | M50% T50%      |           |                   |     |         |           |           |                 |         |
|               |      |     | 5       | 1,000 | 550       | 370             | M30% T20% S50% | 1,000     | 1                 | 715 | —       | 357       | —         | M100%           |         |
|               |      |     | 6       | 714   | 580       | —               | M痕跡            | 2         | 590               | —   | 377     | T痕跡       | M残り       |                 |         |
|               |      |     | 7       | 525   | 595       | —               | T45% S50% F5%  | 3         | 124               | 575 | —       | M1%       | —         | M1%             |         |
|               |      |     |         |       |           |                 |                | 4         | 86                | 603 | —       | —         | —         | Mなし             |         |
|               |      |     | 1,000   | 1     | 2,220     | —               | 359            | M100%     | 1,100             | 1   | 1,000   | —         | 356       | M100%           |         |
|               |      |     |         | 2     | 1,700     | —               | 364            | T痕跡 M残り   | 2                 | 625 | —       | 364       | M100%     |                 |         |
|               |      |     |         | 3     | 645       | 567             | M2-3%          | 3         | 370               | —   | 362     | T痕跡 M残り   |           |                 |         |
|               |      |     |         | 4     | 333       | 603             | —              | Mなし       | 4                 | 68  | 600     | —         | —         | M2-3%           |         |
|               |      |     | 1,100   | 1     | 1,110     | —               | 366            | M100%     | 5                 | 60  | 602     | —         | —         | Mなし             |         |
|               |      |     |         | 2     | 667       | —               | 382            | T1-2% M残り | 601 4'18 0'31 900 | 1   | 770     | —         | 327       | M100%           |         |
|               |      |     |         | 3     | 400       | 562             | M15%           | 2         | 710               | —   | 336     | T1-2% M残り |           |                 |         |
|               |      |     |         | 4     | 370       | 583             | M1-2%          | 3         | 690               | 510 | 336     | T5% M95%  |           |                 |         |
|               |      |     |         | 5     | 286       | 623             | —              | Mなし       | 4                 | 625 | 525     | 335       | T20% M80% |                 |         |
| 605 0'51 0'31 | 900  | 1   | 2,333   | —     | 345       | M100%           | 5              | 303       | 575               | —   | M1-2%   |           |           |                 |         |
|               |      |     | 2       | 1,660 | —         | 347             | T1-2% M残り      | 6         | 286               | 575 | —       | M痕跡       |           |                 |         |
|               |      |     | 3       | 1,540 | —         | 325             | M3-4% M残り      | 7         | 174               | 598 | —       | Mなし       |           |                 |         |
|               |      |     | 4       | 1,110 | 520       | 347             | M70%           |           |                   |     |         |           |           |                 |         |
|               |      |     | 5       | 770   | 535       | 355             | M50%           | 1,000     | 1                 | 378 | —       | 341       | M100%     |                 |         |
|               |      |     | 6       | 500   | 577       | —               | M痕跡            | 2         | 218               | 347 | T痕跡 M残り |           |           |                 |         |
|               |      |     | 7       | 330   | 605       | —               | Mなし            | 3         | 65                | 559 | —       | M2-3%     |           |                 |         |
|               |      |     | 1,000   | 1     | 1,000     | —               | 359            | T痕跡 M残り   | 4                 | 59  | 568     | —         | M1%       |                 |         |
|               |      |     |         | 2     | 700       | 366             | T1% M99%       | 1,100     | 1                 | 333 | —       | 345       | M100%     |                 |         |
|               |      |     |         | 3     | 278       | 591             | M痕跡            | 2         | 222               | —   | 346     | M100%     |           |                 |         |
|               |      |     |         | 4     | 250       | 598             | —              | Mなし       | 3                 | 147 | —       | 353       | M100%     |                 |         |
|               |      |     | 1,100   | 1     | 1,110     | —               | 359            | M100%     | 4                 | 76  | —       | T2-3% M残り |           |                 |         |
|               |      |     |         | 2     | 660       | —               | 363            | M100%     | 5                 | 38  | 571     | M1%       |           |                 |         |
|               |      |     |         | 3     | 455       | —               | 369            | T2-3% M残り |                   |     |         |           |           |                 |         |
|               |      |     |         | 4     | 278       | 572             | M10%           |           |                   |     |         |           |           |                 |         |
|               |      |     |         | 5     | 200       | 594             | —              | Mなし       |                   |     |         |           |           |                 |         |
|               |      |     |         | 6     | 108       | 622             | —              | Mなし       |                   |     |         |           |           |                 |         |
|               |      |     |         | 7     | 58        | 638             | —              | Mなし       |                   |     |         |           |           |                 |         |
| 603 2'01 0'30 | 900  | 1   | 1,667   | —     | 325       | M100%           |                |           |                   |     |         |           |           |                 |         |
|               |      |     | 2       | 1,000 | —         | 340             | T痕跡 M残り        |           |                   |     |         |           |           |                 |         |
|               |      |     | 3       | 526   | 540       | 350             | M80% T20%      |           |                   |     |         |           |           |                 |         |
|               |      |     | 4       | 357   | 568       | —               | M10%           |           |                   |     |         |           |           |                 |         |

顯微鏡組織中のM及びTの符号は夫々マルテンサイト及びトルステイトを示し、附記数字は其の面積により推定したる量の百分率である。

之等は何れも兩臨界冷却速度間にて2段変態を示し異状は認められない。又第26表は各試料のAr''點に及ぼす焼入温度の影響を示す。本鋼のAr''點は多少例外あるも

第18圖 銅鋼の焼入状態圖



大體焼入溫度を高めるに従ひ降下す。又同焼入溫度の際は含有銅量に比例して變態點が低くなる傾向を示す。次に第27表に本實驗により求めたる各試料の臨界冷却速度を示す。本表によれば各試料の臨界冷却速度は何れも焼入溫度を上昇するに従ひ小となり焼入容易となることを示す。

第26表 銅鋼のAr''點に及ぼす焼入溫度の影響

| 試料番號     | Cu%  | C%   | 焼入溫度  |     | Ar''          | 試料番號    | Cu%       | C%        | 燒入溫度      |           | Ar''      |           |
|----------|------|------|-------|-----|---------------|---------|-----------|-----------|-----------|-----------|-----------|-----------|
|          |      |      | °C    | °C  |               |         |           |           | °C        | °C        |           |           |
| 0 痕跡     | 0.30 | 0.30 | 900   | 355 | 603 2.01 0.30 | 900 338 | 1.000 362 | 1.000 367 | 1.100 374 | 1.100 361 | 1.100 348 | 1.100 344 |
|          |      |      | 1,000 | 362 |               |         |           |           |           |           |           |           |
|          |      |      | 1,100 | 374 |               |         |           |           |           |           |           |           |
| 605 0.51 | 0.51 | 0.31 | 900   | 344 | 601 4.18 0.31 | 900 333 | 1.000 362 | 1.000 344 | 1.100 364 | 1.100 348 | 1.100 344 | 1.100 348 |
|          |      |      | 1,000 | 362 |               |         |           |           |           |           |           |           |
|          |      |      | 1,100 | 364 |               |         |           |           |           |           |           |           |

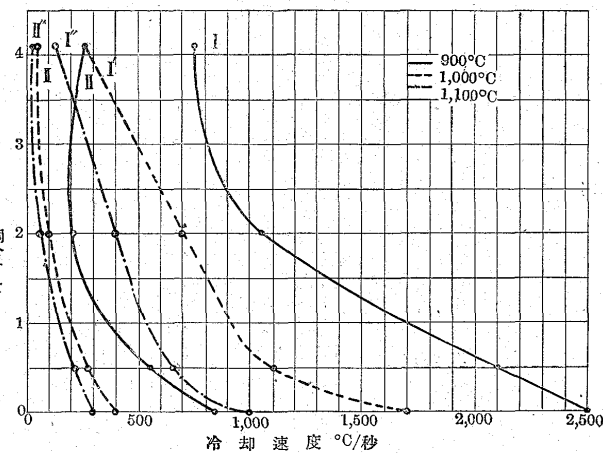
第27表 銅鋼の臨界冷却速度

| 試料番號     | Cu%  | C%   | 焼入溫度  |     | 下部臨界冷却速度<br>°C/秒 | 上部臨界冷却速度<br>°C/秒 |
|----------|------|------|-------|-----|------------------|------------------|
|          |      |      | °C    | °C  |                  |                  |
| 0 痕跡     | 0.30 | 0.30 | 900   | 700 | 2,500            | 2,500            |
|          |      |      | 1,000 | 400 | 1,700            | 1,700            |
|          |      |      | 1,100 | 300 | 1,000            | 1,000            |
| 605 0.51 | 0.51 | 0.31 | 900   | 500 | 1,800            | 1,800            |
|          |      |      | 1,000 | 270 | 1,100            | 1,100            |
|          |      |      | 1,100 | 210 | 650              | 650              |
| 603 2.01 | 2.01 | 0.30 | 900   | 200 | 1,050            | 1,050            |
|          |      |      | 1,000 | 100 | 700              | 700              |
|          |      |      | 1,100 | 60  | 400              | 400              |
| 601 4.18 | 4.18 | 0.31 | 900   | 250 | 750              | 750              |
|          |      |      | 1,000 | 50  | 250              | 250              |
|          |      |      | 1,100 | 30  | 130              | 130              |

之は前述炭素鋼に於けると全く同理由による外、鋼に對する銅の溶解度の如何に準據するものと思はれる。次に第19圖は之を圖示し銅鋼の臨界冷却速度に及ぼす焼入溫度の影響を示すものである。今之に就て見るに上部臨界冷却速度(I, I' 及び I'')は初め銅を増すに従ひて何れも小となる。然るに其の内曲線 I のみは約 4% を限度としてそれ以上にては却て焼入困難となつてゐるが曲線 I' 及び I'' は斯る傾向なく含有量多くなるも大體それに比例して焼入容易となることを示して居る。之は第1報にて説明せる如く炭素鋼(C 0.3%)に於て銅 4% 以上含有する場合、之を完全に固溶せしむるには Vogel<sup>43)</sup>, 石原博士等<sup>44)</sup>の提出せる狀態圖に就て見るも約 950°C 以上に加熱するを要するのでそれ以下の焼入溫度即ち 900°C の場合は銅が多

少オーステイナイト中に殘留しそれが核作用をなして臨界冷却速度が大となるのであると考へる。然し 1,000°C 及び 1,100°C の際には銅が完全に溶解し得る爲めに、銅含有量に比例して焼入效果が大きくなるのである。下部臨界冷却速度も之と大體同傾向であつて 900°C より焼入の場合のみ銅 4% 以上にて大となつて居る。

第19圖 銅鋼の臨界冷却速度に及ぼす焼入溫度の影響



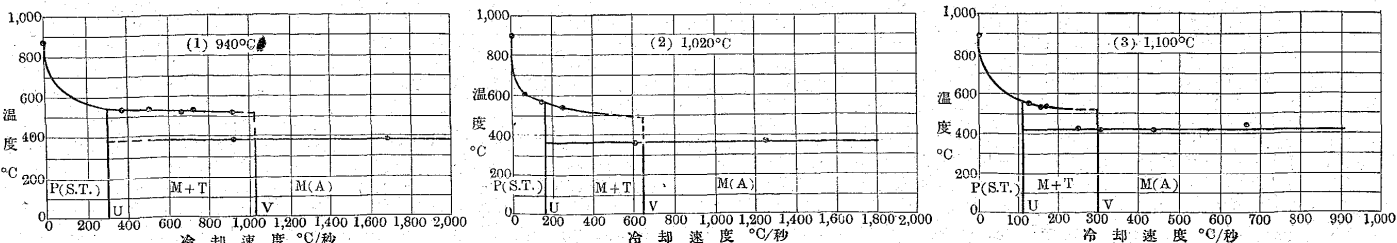
### 3. タングステン鋼

W 鋼は溶解極めて困難なる特殊炭化物を生成するので、焼入溫度による影響は特に大であり之に關する研究も亦多い。Braysbaw<sup>45)</sup>は高炭素 W 鋼を種々の溫度より焼入し、其の結果 860°C 及び 740°C より焼入たる試料の破面には何等變化を認め得なかつた。Portevin<sup>46)</sup>は種々の W 鋼を焼入し硬度を測定せる結果焼入を高溫より行ふに従て硬度の增加することを認めた。Zieler<sup>47)</sup>は 0.3%, 0.7%, 1.1% 及び 1.4% 炭素を含有する各種 W 鋼の硬度に及ぼす焼入溫度の影響を研究し極めて興味ある結果を示した。Houdremont, Bennek 及び Schrader<sup>48)</sup>は W は V, Mo 及び Cr 等と同様極めて溶解困難なる炭化物を生成し、焼入溫度低き場合それがオーステナイト

第28表 タングステン鋼の化學成分及變態點

| 試料番號 | W%   | C%   | Si%  | Mn%  | P%    | S%    | 變態點°C           |                 |
|------|------|------|------|------|-------|-------|-----------------|-----------------|
|      |      |      |      |      |       |       | Ac <sub>3</sub> | Ac <sub>1</sub> |
| 512  | 2.90 | 0.27 | 0.06 | 0.01 | 0.012 | 0.003 | 888             | 780             |

第20圖 タングステン鋼の焼入狀態圖 No. 512 W 2.90% C 0.27%



中に残存する爲め焼入温度による影響大なりと述べた。又 Pötzguter<sup>48)</sup>も W を含有する各種高速度鋼に就て同様のことを認めた。本実験に於て著者は第28表に其の化學成分及び變態點を示す試料を 940°C, 1,020°C 及び 1,100°C の各温度より焼入した。

第29表はそれ等の實驗結果、第20圖は焼入狀態圖を示す。

第29表 タングステン鋼の實驗結果

| 焼入温度<br>°C | 實驗番號 | 冷却速度<br>°C/秒 | 變態點°C |      | 試料顯微鏡組織   |
|------------|------|--------------|-------|------|-----------|
|            |      |              | Ar'   | Ar'' |           |
| 940        | 1    | 1,610        | —     | 385  | M 100%    |
|            | 2    | 865          | 473   | 370  | T 5% M95% |
|            | 3    | 620          | 520   | —    | M60% T40% |
|            | 4    | 588          | 510   | —    | M10%      |
|            | 5    | 500          | 527   | —    | M 5%      |
|            | 6    | 370          | 545   | —    | M 1%      |
| 1,020      | 1    | 1,250        | —     | 375  | M 100%    |
|            | 2    | 610          | —     | 360  | T痕跡 M残り   |
|            | 3    | 253          | 544   | —    | M30%      |
|            | 4    | 152          | 567   | —    | Mなし       |
|            | 5    | 54           | 594   | —    | Mなし       |
| 1,100      | 1    | 666          | —     | 449  | M 100%    |
|            | 2    | 435          | —     | 415  | M 100%    |
|            | 3    | 303          | —     | 413  | M 100%    |
|            | 4    | 250          | —     | 431  | T6-7% M残り |
|            | 5    | 172          | 542   | —    | M50% T50% |
|            | 6    | 154          | 540   | —    | M15%      |
|            | 7    | 125          | 546   | —    | M痕跡       |

顯微鏡組織中のM及びTの符號は夫々マルテンサイト及びトルースタイトを示し、附記數字は其の面積により推定したる量の百分率である。

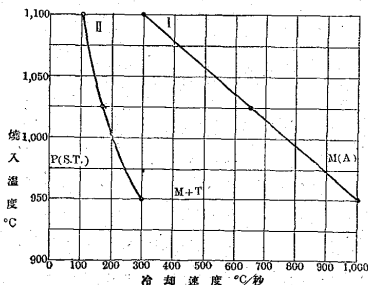
圖中之等の變態點は何れも異狀を示さず兩臨界冷却速度間にては2段に變態を生じた。次に第30表は各焼入温度に於ける上部及び下部臨界冷却速度を示す。

第30表 タングステン鋼の臨界冷却速度

| 焼入温度<br>°C | 下部臨界冷却速度<br>°C/秒 | 上部臨界冷却速度<br>°C/秒 |
|------------|------------------|------------------|
| 940        | 300              | 1,000            |
| 1,020      | 170              | 650              |
| 1,100      | 110              | 300              |

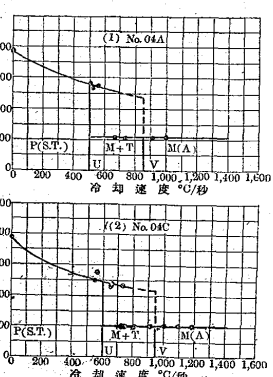
第21圖

タンクステン鋼の臨界冷却速度に及ぼす焼入温度の影響



第22圖

鍛鍊度に関する實驗試料の焼入狀態圖



又第21圖は之を圖示し W 鋼の焼入温度が臨界冷却速

度に及ぼす影響を示す。

圖中曲線I及びIIを見るに本鋼の上部及び下部臨界冷却速度は焼入温度の上昇に伴ひ著しく影響を受け小となる然して之の場合は炭素鋼と異り 1,100°C 以上に至るも猶減少の傾向を示して居る。之は前述諸現象に基く外、特に本鋼には溶解困難なる複炭化物 ( $Fe_3W_3C$ ) が存在する爲めであると考へる。即ち之が溶解度は温度の上昇に比例して増加するも、完全に溶解すべき温度極めて高く從て鋼を變態點以上に加熱するも尙幾分の複炭化物はオーステナイト中に残存して居る。仍て焼入の際加熱温度に應じてオーステナイト中の殘留量減少する爲め臨界冷却速度を小にするのであって本鋼にては 1,100°C に至るも未だ全部溶解しなかつたものと思考する。猶殘留炭化物が臨界冷却速度を小にする理論は既に第1報に述べたるも茲に再録すれば次の如し。

- (1) 焼入の際核作用をなして變態發生を容易にする。
- (2) オーステナイト中の固溶炭素量を減少せしめる。
- (3) 加熱の際オーステナイト粒の成長を妨げ粒形を小に保つ。

以上の諸實驗は何れも最高加熱温度より焼入せる場合のみであったが、更に最高加熱温度と焼入温度との異なる場合も之等の理論を明かにする上に極めて有益なのであるから引き続き實驗し後日報告することにする。

## V. 焼入前鋼が保有せし状態による影響

上述の諸實驗に於ては何れも標準化せる試料を使用したが、焼入前鋼の有する組織及び粒形等が焼入に及ぼす影響は、現場作業上重要なことである。仍て本實驗に於ては次の如く之等に關する實驗を行った。

### 1. 焼入前の組織。

一般に鋼材は一度焼入せるものを更に再焼入する時、單獨焼入の場合に比し效果大となることは現場作業に於て屢々經驗することである。松下博士<sup>28)</sup>は本現象を磁氣的硬度の測定によって證明し甲藤氏<sup>49)</sup>も同様磁氣的硬度とショア硬度の測定によって説明した。又七尾氏<sup>50)</sup>は二度焼入の効果を消失するには初めの焼入後如何に熱處理をなすべきかを研究し其の結果餘程注意して焼鈍しなければ標準組織は得られず兎に角再焼入の場合は焼が入り易くなると述べて居る。之等の研究は何れも定性的のものであるから本實驗に於ては炭素鋼 Mn 鋼及び Ni・Cr 鋼の焼入組織及

び標準組織の試料に就て實驗し比較した。

### (1) 炭素鋼

本實驗は第 22 表に化學成分及び變態點を示す試料 01 を用ひて行った。試料は丸棒の儘  $850^{\circ}\text{C}$  より水中に急冷し完全に燒入組織となしてから球形に製作し前述諸實驗と同様に實驗した。第 31 表に其の實驗結果を示す。

第 31 表 炭素鋼の實驗結果

| 燒入前の組織 | 實驗番號 | 冷却速度<br>°C/秒 | 試料顯微鏡組織      |
|--------|------|--------------|--------------|
| 燒入組織   | 1    | 357          | T 1-2% M 残り  |
|        | 2    | 333          | M 65%        |
|        | 3    | 286          | M 40%        |
|        | 4    | 270          | M なし         |
|        | 5    | 233          | M なし         |
| 標準組織   | 1    | 500          | M 100%       |
|        | 2    | 365          | M 95% T 5%   |
|        | 3    | 330          | M M35% T 65% |
|        | 4    | 303          | M 痕跡         |
|        | 5    | 278          | M なし         |

顯微鏡組織中のM及びTの符號は夫々マルテンサイト及びトルースタイドを示し、附記數字は其の面積により推定したる量の百分率である。

次に第 32 表はそれ等の場合の兩臨界冷却速度を示す。

第 32 表 炭素鋼の臨界冷却速度

| 燒入前の組織 | 下部臨界冷却速度<br>°C/秒 | 上部臨界冷却速度<br>°C/秒 |
|--------|------------------|------------------|
| 燒入組織   | 275              | 380              |
| 標準組織   | 300              | 450              |

之を見るに燒入前マルテンサイト組織なるものは標準組織のものに比し兩臨界冷却速度共に小にして明に再燒入せるものは其の效果大なることを示す。之は甲藤氏<sup>49)</sup>が説明せる如く一度燒入せる鋼を再び加熱すれば直に燒戻され其の炭化鐵は標準組織に於けるものに比し非常に細かい粒となって分離するにより變態點以上に至れば速に一様のオーステナイトになり易い。仍て之の理由により再燒入の場合は單獨の際に比し燒入效果が大となるのである。然も之は全く後天的影響であるから、更に高溫より燒入るか或は加熱時間を長くすれば其の影響を消失する。

### (2) マンガン鋼

本實驗は第 33 表に示す Mn 鋼を用ひて行った。

第 33 表 マンガン鋼の化學成分及變態點

| 試料番號 | Mn % | C %  | Si % | P % | S % | 變態點<br>$\text{Ac}_3$ | 變態點<br>$\text{Ac}_1$ |
|------|------|------|------|-----|-----|----------------------|----------------------|
|      |      |      |      |     |     |                      |                      |
| 38   | 0.90 | 0.29 | 0.12 | —   | —   | 829                  | 748                  |

試料は炭素鋼の場合と同様丸棒の儘  $890^{\circ}\text{C}$  より油中に急冷し完全なる燒入組織となしたものより球形に製作した。第 34 表に其の實驗結果を示し第 35 表はそれより求めたる上部臨界冷却速度を示す。

第 34 表 マンガン鋼の實驗結果

| 燒入前の組織 | 實驗番號 | 冷却速度<br>°C/秒 | 試料顯微鏡組織     | 燒入前の組織 | 實驗番號 | 冷却速度<br>°C/秒 | 試料顯微鏡組織     |
|--------|------|--------------|-------------|--------|------|--------------|-------------|
| 燒入組織   | 1    | 353          | M 100%      | 標準組織   | 1    | 585          | M 100%      |
|        | 2    | 250          | M 100%      |        | 2    | 444          | T痕跡 M 残り    |
|        | 3    | 185          | T痕跡 M 建り    |        | 3    | 300          | T 2-3% M 残り |
|        | 4    | 135          | T 3-4% M 残り |        | 4    | 107          | M 2-3%      |
|        | 5    | 80           | T 25% M 75% |        | 5    | 87           | M 痕跡        |
|        | 6    | 73           | T 50% M 50% |        | 6    | 44           | M なし        |

顯微鏡組織中のM及びTの符號は夫々マルテンサイト及びトルースタイドを示し、附記數字は其の面積により推定したる量の百分率である。

第 35 表 マンガン鋼の臨界冷却速度

| 燒入前の組織 | 上部臨界冷却速度<br>°C/秒 | 燒入前の組織 | 上部臨界冷却速度<br>°C/秒 |
|--------|------------------|--------|------------------|
| 燒入組織   | 200              | 標準組織   | 450              |

之を見るに本鋼の再燒入せるものの臨界冷却速度は然らざるものに比し著しく小となり其の影響は炭素鋼より大きいのである。之は前述炭素鋼に於けると同様の理由に基くものと考へる。猶本實驗に於ては下部臨界冷却速度を測定しなかつたが其の値も著しく小さきものと思はれる。

### (3) ニッケルクロム鋼

供試材料は第 1 表に化學成分及び變態點を示す試料 1,504 にして、前同様丸棒の儘油中に急冷し完全なる燒入組織となしたる後球形に製作した。燒入溫度は第 2 表に示せると同様  $840^{\circ}\text{C}$  を採用し、第 36 表に其の實驗結果を示した。

第 36 表 ニッケルクロム鋼の實驗結果

| 實驗番號 | 冷却速度<br>°C/秒 | 試料顯微鏡組織    | 實驗番號 | 冷却速度<br>°C/秒 | 試料顯微鏡組織 |
|------|--------------|------------|------|--------------|---------|
| 1    | 400          | M 100%     | 3    | 95           | M 1-2%  |
| 2    | 357          | T 1% M 99% |      | 65           | M なし    |
| 3    | 182          | M 15%      |      |              |         |

顯微鏡組織中のM及びTの符號は夫々マルテンサイト及びトルースタイドを示し、附記數字は其の面積により推定したる量の百分率である。

但し標準狀態より實驗せるものの結果は第 2 表に示せると同様であるから之を省いた。次に第 37 表に之より求めたる臨界冷却速度と第 3 表に於ける試料 1,504 の臨界冷却速度とを示し比較に供した。

第 37 表 ニッケルクロム鋼の臨界冷却速度

| 燒入前の組織           | 燒入組織 | 標準組織 | 燒入前の組織           | 燒入組織 | 標準組織 |
|------------------|------|------|------------------|------|------|
| 上部臨界冷却速度<br>°C/秒 | 380  | 450  | 下部臨界冷却速度<br>°C/秒 | 70   | 100  |

之を見るに本鋼も上述せるものと同様再燒入によって兩臨界冷却速度共に小となる。而して其の程度は炭素鋼と略同様にして其の理由も他の場合と同様説明し得るのである。

### (4) 總括

以上述べし如く一般に鋼が再度の燒入により其の效果を

増することは既に認められてゐた事實なるも、本實驗に於て其の影響の程度を初めて定量的に明にすることを得た。

## 2. 鍛鍊度の影響

鋼材は鍛鍊により組織及び粒形等に著しき變化を受けるから鍛鍊度も亦其の焼入效果に影響を及ぼすものと思はれる。一般に現場作業に於ても此點に留意し鍛鍊後必ず焼純してから焼入する。然し其の影響の程度に關する實驗結果は全く見當らない。本實驗の供試材料は第38表に示す炭素鋼にして次の如く調製した。

第38表 鍛鍊度に關する實驗試料の化學成分

| 試料番號 | C%   | Si%  | Mn% | P%    | S%    |
|------|------|------|-----|-------|-------|
| 04   | 0.77 | 0.04 | なし  | 0.006 | 0.035 |

即ち約3kgのアルムコ鐵及び之と木炭粉末より製したる白銑を適當に配合したるものを原料とし、之をアルミナの裏付をなせる黒鉛ルツボに裝入し、クリプトル爐にて熔解し内徑40mmの金型に鑄込んだ。斯して製したる直徑40mmの丸棒を鍛鍊溫度に加熱し其の一端を徑6mmに鍛鍊し其の儘空冷した。そして徑40mmの部分(04A)及び徑6mmの部分(04C)より夫々球形試料を製作したのである。猶此際試料04Cの鍛造比は04Aの斷面積/04Cの斷面積=45である。實驗方法は前述諸實驗と同様にして焼入溫度は何れも830°Cとした。第39表には其の實驗結果を示し、第22圖にはそれ等の焼入狀態圖を示す。

第39表 鍛鍊度に關する實驗結果

| 試料番號 | 實驗番號 | 冷却速度<br>°C/秒 | 變態點°C |      | 試料顯微鏡組織     |
|------|------|--------------|-------|------|-------------|
|      |      |              | Ar'   | Ar'' |             |
| 04 A | 1    | 1,000        | —     | 209  | M 100%      |
|      | 2    | 910          | —     | 211  | M 100%      |
|      | 3    | 740          | —     | 218  | T 1% M 99%  |
|      | 4    | 666          | —     | 218  | T 2-3% M 残り |
|      | 5    | 527          | 531   | —    | M 3-4%      |
|      | 6    | 515          | 560   | —    | M 痕跡        |
| 04 C | 1    | 1,110        | —     | 200  | M 100%      |
|      | 2    | 1,000        | —     | 203  | M 100%      |
|      | 3    | 910          | —     | 200  | T 1% M 99%  |
|      | 4    | 800          | —     | 200  | T 2-3% M 残り |
|      | 5    | 740          | 479   | 200  | T 7-8% M 残り |
|      | 6    | 660          | 473   | —    | M 1-2%      |
|      | 7    | 572          | 559   | —    | M なし        |

顯微鏡組織中のM及びTの符號は夫々マルテンサイト及びトルースタイトを示し、附記数字は其の面積により推定したる量の百分率である。

之を見るに試料04Aは04Cに比し何れも小にして鍛造比小なるものは焼入容易なることを示すものである。

第40表 鋼の臨界冷却速度に及ぼす鍛鍊度の影響

| 試料番號 | 下部臨界冷却速度<br>°C/秒 |              | 上部臨界冷却速度<br>°C/秒 |              | 試料番號 | 下部臨界冷却速度<br>°C/秒 |              | 上部臨界冷却速度<br>°C/秒 |              |
|------|------------------|--------------|------------------|--------------|------|------------------|--------------|------------------|--------------|
|      | 冷却速度<br>°C/秒     | 冷却速度<br>°C/秒 | 冷却速度<br>°C/秒     | 冷却速度<br>°C/秒 |      | 冷却速度<br>°C/秒     | 冷却速度<br>°C/秒 | 冷却速度<br>°C/秒     | 冷却速度<br>°C/秒 |
| 04A  | 500              | 850          | —                | —            | 04C  | 600              | 950          | —                | —            |

著者は本現象を粒形に基きて説明する爲め兩試料の焼入

溫度に於て有するオーステナイトの粒形をフェライトの網状組織に依り測定した。其の結果試料04Aは04Cに比し僅少乍ら粒形大であることを認めた。Grossmann<sup>42)</sup>はオーステナイト粒は加熱直前のフェライトの大きさに依ると述べたが鍛造比大なるもののフェライト粒小さきは當然であつて本結果は同氏の實驗と一致する。然るに一般にオーステナイト粒形小なるものは焼入困難であるから之により本實驗の結果を首肯し得るのである。此外甲藤氏<sup>43)</sup>は本現象を鋼材は鍛鍊により結合炭素を減少すると云ふ事實により説明して居る。

## VI. 鋼中含有ガスの影響

鋼中含有ガスに關しては從來餘り顧みられなかつたが、近年冶金學の進歩に伴ひ鋼材に致命的損害を與へる白點、砂疵の生因、熔接部の缺陷等も之を考慮し之が解決の見込みを得るに至つたので、本邦に於ても大いに此方面の研究が進められて居る。日本學術振興會第19小委員會に於ても鋼材缺點の研究に際して之が分析法確立の必要を痛感し特に第一分科會を設けて目下審議中である。著者も其の一員として參與し、ガス分析の研究をして居る次第である。一般に鋼中含有ガスの主なるものは酸素、窒素及び水素にして、之等は製鋼過程に於ける接觸雰圍氣又は裝入物等より介入される。鋼中にて之等は固溶體或は化合物として存在するものと、ガス状態で氣泡として含有されるものとあるが、何れも不純物として極めて微量あるに過ぎない。其の内氣泡として存在するものは現今の優良鋼には極めて少く、主として固溶體或は酸化物、窒化物の如き化合物か、又は他の非金屬介在物として存在するのである。仍て之等は鋼の焼入にも相當影響を及ぼすものと思はれるが、其の分析方法の一般に信頼せらるゝものなき現状に於ては之に關する正確なる實驗結果を得ること困難である。本研究に於ては水素及び窒素が鋼の焼入に及ぼす影響に就て豫備的の實驗をした。又酸素に關しては之を後日に譲つた。

### 1. 水素の影響

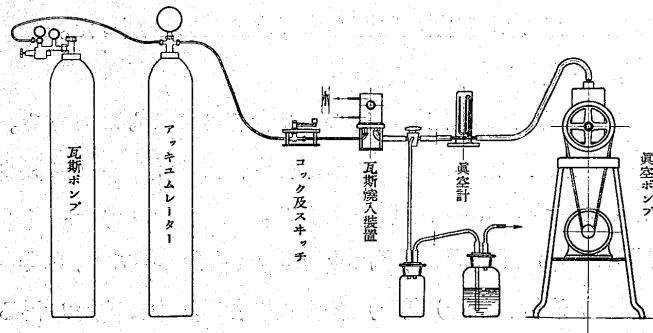
水素は鋼中の不純物として屢々含有されるものである。然して常温、常壓に於て鐵に含有され得る量は極めて微少で0.0005~0.001%程度である。Sieverts<sup>51)</sup><sup>52)</sup> Hütting<sup>53)</sup> Martin<sup>54)</sup> Luckemeyer-Hasse 及び Schenck<sup>55)</sup> 岩瀬博士<sup>56)</sup> 等<sup>57)</sup>多くの學者は鐵中に溶解し得る水素量に關して研究した。之等によれば水素は熔融狀態に於て多量に溶解するも凝固すれば其の量著しく減少し、更

に温度の低下に従ひ漸次減少し  $A_3$  變態と共に急に減少する。其の他 Körber 及び Ploum<sup>58)</sup> は水素は純鐵中には入らず燃、硫黄及び珪素等の如き水素とガス状の水素化物を生成する元素の存在する時にのみ、其の觸媒作用により含有されると云つて居る。次に其の含有状態に就ては實驗極めて困難なる爲め未だ正確なる研究なく Bodenstein<sup>59)</sup> Bardenheuer 及び Ploum<sup>60)</sup> Bardenheuer<sup>61)</sup> によれば水素は原子状態にて能く鋼中に含有せられ其の時は無害であるが、一度析出して分子状態となると最早鋼には溶け得ないと述べて居る。以上を綜合して想像するに水素は鋼中にて極めて不安定なる原子状態か或は水素化物として存在することになる。然して前者は温度の昇降により容易に逸出するものにして、一度鋼より析出し小孔に集るか、或は非金屬介在物に遭遇すれば原子より變じて分子となり最早鋼には溶けぬのであらうと思はれる。次に鋼の諸性質に及ぼす影響に關して古く Cailletet<sup>62)</sup> Austin<sup>63)</sup> Heyn<sup>65)</sup> が實驗し之は鋼の脆性を増すと云つた。其の後 Ludwick<sup>66)</sup> Tammann 及び Neubert<sup>67)</sup> Bardenheuer 及び Ploum<sup>68)</sup> が正確なる實驗により水素は抗張力を高めるが同時に衝撃抗力を著しく小さくすることを認めた。又 Epstein<sup>69)</sup> は水素は極めて有害であると云ひ Houdremont 及び Korschans<sup>70)</sup> Bennek, Schenck 及び Müller<sup>71)</sup> は白點の主因に水素を擧げて居る。次に水素の鋼焼入に及ぼす影響に關しては未だ全く研究がない。斯くの如く水素は鋼に對して重要であり而も有害であるので其の實驗は極めて困難であるが今後大いに研究すべきものである。仍て著者は炭素鋼、ニッケル鋼、クロム鋼及びモリブデン鋼の4種に就き次に示す如き方法にて實驗した。

#### (1) 實驗方法

水素は鋼中に於て極めて不安定にして容易に逸出するの

第 23 圖 水素に關する實驗裝置



で、それに関する實驗は非常に困難である。本實驗に於て

著者の採用せる方法は未だ完全とは思はざるも簡便にして而も危険なく、稍満足し得るものと信ず。即ちガス焼入裝置を第 23 圖に示す如く改造し窒素の代りに水素を用ひた。

實驗方法は先づ前同様試料を裝備せる上真空ポンプにて一旦ガス焼入裝置内の空氣を排除し次にコツクを開きポンプより水素を注入す。斯る操作を 2~3 回繰返し裝置内を水素にて置換し更にコツクを僅か開き 5~10 分間水素を徐々に流出せしめて内部の殘留空氣を完全に排除す。猶此際の排出ガスは三方コツクにて切換へ圖の下方硝子ビンに放出せしめる。硝子ビンの内一方は水を入れ外氣の逆流を防ぐと同時に逃出する氣泡により、流出ガス量を検する用に供へた。他方は空ビンにして前者の水が逆流して裝置内に入るを防ぐ。斯くして準備完了せば裝置内の加熱體に電流を通じ試料を加熱す。加熱用ニクロム線は水素中に於ては直に脆くなり使用に堪えぬので本實驗にては純モリブデン線を使用した。

次に試料の大きさに應じて第 41 表に示す如く 900°C に加熱保持し十分試料に水素を吸收飽和せしめた。之は水素の吸收に關して Bardenheuer<sup>61)</sup> は直徑 3~4 mm の際 15 分間水素中にて加熱せば十分飽和すると云ひ岩瀬博士、福島及三井氏等<sup>72)</sup> は純鐵の水素吸收は 800°C にて直徑 1 mm の場合は瞬間的で 16 mm の場合約 30 分間にて飽和に達したと述べて居るので之等を基として決定したのである。

第 41 表 水素中に於ける試料加熱時間

| 試料直徑 (mm)  | 1 | 1.5 | 2  | 3  | 保持時間經過せば暫時燒入溫度   |
|------------|---|-----|----|----|--|
| 保持時間 (min) | 5 | 7   | 10 | 15 | に保ち直にコツクを開いてアツキュムレーターに貯へたる水素を噴出せしめて試料を冷却し、其の際の冷却状況を記録し、他方該試料の顯微鏡組織を試験すること第 1 報に於て述べたると全く同様である。猶試料加熱中も常に少量の水素を裝置内に流入し新鮮なる水素を試料に觸れしめた。斯くして本實驗に於ては加熱溫度を 900°C となし、該溫度に於ける飽和量の影響を實驗したのであって、未だ鋼中の水素含有量を正確に定量して居るのは遺憾である。又水素中にて加熱した爲め真空中の場合と異つた現象を生じたのでそれ等の程度に就ても次の如く實驗した。 |

(i) 試料は水素中にて加熱せる爲め極めて脱炭を生じ易い。勿論外周の約 0.1 mm は特に著しく完全にフエライトとなるも、之は局部的にして全組織には影響がないので此部分は考慮せず、其の内部全體の脱炭程度を試験した。即

ち水素中にて實驗せらるものと然らざるものとを  $900^{\circ}\text{C}$  にて真空焼鈍し兩試料の顯微鏡試験を爲しパーライト組織の面積によりそれ等の含有炭素量を比較した。其の結果第42表に示す如く炭素鋼及びニッケル鋼は脱炭多くクロム鋼及びモリブデン鋼には殆んど認められなかつた。

第42表 水素中加熱の脱炭状況

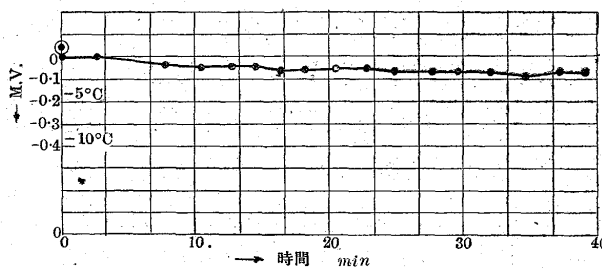
| 鋼種類           | 炭素鋼  | Ni鋼 | Cr鋼  | Mo鋼  |
|---------------|------|-----|------|------|
| 兩試料炭素量の差<br>% | 0.05 | 0.1 | 0.01 | 0.01 |

之は當然の結果であつて後兩者の含有炭素極めて安定なことは Naumann,<sup>73)</sup> Gudzov 及び Vjasnikov<sup>74)</sup> も其の實驗結果之を證明して居るのである。故に本實驗に於ける前兩鋼に關する結果に對しては此影響の存する爲め十分なる信頼を置き得ないことになる。

(ii) クロメルーアルメル熱電對の起電力は水素中にて影響を受けるので測熱の正確を期する爲め次の如くして補正した。即ち検定せる熱電對を純水素氣流中にて  $1,000^{\circ}\text{C}$  に加熱し 40 分間保持し熱起電力の變化を測定した。其の試験成績は第24圖に示す如く起電力變化極めて微量であつて 15 分にて  $0.04 \text{ M.V.}$  ( $-1^{\circ}\text{C}$  に當る), 40分にて  $0.08 \text{ M.V.}$  ( $-2^{\circ}\text{C}$  に當る) となつた。猶圖中の●印を附せるは本熱電對検定の際の位置にして  $1,000^{\circ}\text{C}$  迄加熱中(約2時間を要した)に  $0.04 \text{ M.V.}$  ( $-0.1^{\circ}\text{C}$  に當る)劣化することを示す。然し本實驗にては極めて急速に加熱し得たので、之を除外し單に試料を 15 分以内加熱せるによる起電力の影響即ち  $-1^{\circ}\text{C}$  の補正のみを行つた。

第24圖 クロメルーアルメル熱電對の水素中に於ける起電力劣化(但し加熱溫度  $1,000^{\circ}\text{C}$ )

●は検定に於ける位置を示す



## (2) 實驗結果

供試材料は第43表に示す炭素鋼、ニッケル鋼、クロム

第43表 水素に關する實驗試料の化學成分及變態點

| 試料番號 | C%   | Si%  | Mn%  | P%    | S%    | Ni%  | Cr%  | Mo%  | 變態點           | 燒入溫度 |     |
|------|------|------|------|-------|-------|------|------|------|---------------|------|-----|
|      |      |      |      |       |       |      |      |      | $\text{Ac}_3$ |      |     |
| 0    | 0.30 | 0.09 | 痕跡   | 0.020 | —     | —    | —    | —    | 850           | 757  | 900 |
| 108  | 0.28 | 0.06 | "    | 0.020 | 0.006 | 1.53 | —    | —    | 806           | 724  | 850 |
| 211  | 0.27 | 0.09 | —    | 0.006 | 0.005 | —    | 0.42 | —    | 835           | 760  | 900 |
| 400  | 0.31 | 0.06 | 0.01 | 0.003 | 0.010 | —    | —    | 0.82 | 840           | 751  | 900 |

鋼及びモリブデン鋼である。次に第44表にそれ等の實驗結果を示し第25圖に其の際の焼入狀態圖を示した。

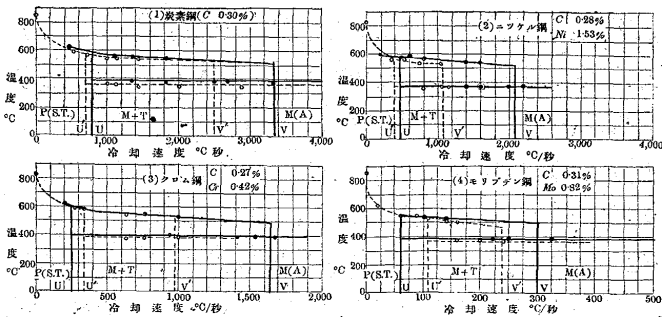
第44表 水素含有試料の實驗結果

| 試料番號 | 燒入溫度<br>°C | 實驗番號 | 冷却速度<br>°C/秒 | 變態點<br>°C    |               | 試料顯微鏡組織    |
|------|------------|------|--------------|--------------|---------------|------------|
|      |            |      |              | $\text{Ar}'$ | $\text{Ar}''$ |            |
| 0    | 900        | 1    | 3,333        | —            | 370           | T痕跡 M残り    |
|      |            | 2    | 2,700        | —            | 385           | T 2-3% M残り |
|      |            | 3    | 2,500        | —            | 378           | T 5% M95%  |
|      |            | 4    | 1,818        | 530          | 378           | M 60%      |
|      |            | 5    | 1,340        | 561          | 385           | M 15%      |
|      |            | 6    | 1,110        | 567          | —             | M 3-4%     |
|      |            | 7    | 450          | 621          | —             | Mなし        |
| 108  | 850        | 1    | 2,220        | —            | 370           | M 100%     |
|      |            | 2    | 2,000        | —            | 360           | T 2-3% M残り |
|      |            | 3    | 1,660        | 531          | 360           | T 3-4% M残り |
|      |            | 4    | 1,430        | 540          | 366           | T 5% M95%  |
|      |            | 5    | 1,000        | 525          | —             | M 20%      |
|      |            | 6    | 815          | 561          | 355           | M 10%      |
|      |            | 7    | 500          | 572          | —             | M痕跡        |
|      |            | 8    | 312          | 593          | —             | Mなし        |
| 211  | 900        | 1    | 1,660        | —            | 385           | M 100%     |
|      |            | 2    | 1,540        | —            | 385           | T 3-4% M残り |
|      |            | 3    | 1,440        | 518          | 388           | T 7-8% M残り |
|      |            | 4    | 1,428        | 520          | 385           | T 7-8% M残り |
|      |            | 5    | 1,000        | 530          | 375           | M 30%      |
|      |            | 6    | 310          | 588          | —             | M 2-3%     |
|      |            | 7    | 179          | 633          | —             | Mなし        |
| 400  | 900        | 1    | 1,250        | —            | 370           | M 100%     |
|      |            | 2    | 550          | —            | 385           | M 100%     |
|      |            | 3    | 324          | —            | 386           | M 100%     |
|      |            | 4    | 250          | —            | 385           | T 5% M95%  |
|      |            | 5    | 218          | —            | 380           | T 20% M80% |
|      |            | 6    | 133          | 526          | —             | M 30%      |
|      |            | 7    | 100          | 535          | —             | M 5%       |
|      |            | 8    | 65           | 551          | —             | M痕跡        |

本試料は水素氣流中にて加熱せるにより何れも外周より約  $0.1\text{ mm}$  程度は脱炭陥しき爲めそれより内部の組織にて決定した。

顯微鏡組織中のM及びTの符號は夫々マルテンサイト及びトルースタイトを示し、附記数字は其の面積により推定したる量の百分率である。

第25圖 水素含有試料の焼入狀態圖



—— 水素を含有せる場合 ······ 水素無き場合

圖中點線で書きたるは同一試料の真空加熱即ち水素無き場合の狀態圖である。之を見るに何れもUV間の冷却速度にては二段變態を示し特に異狀はない。次に本實驗にて求めたる冷却曲線には Harrington 及び Wood<sup>75)</sup> Esser 及び Cornelius<sup>76)</sup> 田丸博士<sup>77)</sup> の認めたる二重變態は認められなかつた。又變態溫度は大體水素により僅か上昇する傾向が認められた。第45表に水素中及び真空中にて加

熱せる場合の各鋼の臨界冷却速度を示す。

第45表 鋼の臨界冷却速度に及ぼす水素の影響

| 試料番號 | 下部臨界冷却速度 °C/秒 |     | 上部臨界冷却速度 °C/秒 |       |
|------|---------------|-----|---------------|-------|
|      | 真空中           | 水素中 | 真空中           | 水素中   |
| 0    | 700           | 800 | 2,500         | 3,350 |
| 108  | 400           | 480 | 1,800         | 2,100 |
| 211  | 315           | 250 | 950           | 1,650 |
| 400  | 110           | 60  | 240           | 300   |

之等の上部臨界冷却速度は何れも水素なき場合に比し著しく大となる。下部臨界冷却速度は炭素鋼及びニッケル鋼に於て少許は大となるも、クロム鋼及びモリブデン鋼にては逆に小となつて居る。之は前述迄の諸結果に於て兩臨界冷却速度が大體比例して變化せるに對し特異的現象なるも鋼中含有水素の安定度の變化より説明し得るのである。一般に鋼中の水素は次の如き作用により他元素と同様其の焼入を容易にするものと思はれる。即ち

(i) 鐵原子中に嵌入して變態に際し炭素原子の移動を妨げる等の作用によりマルテンサイト生成を容易にする。

(ii)  $\alpha$  鐵の水素吸收量は  $\gamma$  鐵に比し著しく少であるから、冷却の際變態點にて多量の水素を急激に放出せねばならない。此現象は鋼中の水素擴散に對する抵抗により鋼の變態を阻止する傾向を有するが粒内部に於ては擴散困難なる爲め其の影響が特に著しい。

然るに高溫に加熱せる鋼中に於ては水素が極めて不安定であるから之は却て鐵及び炭素原子に刺戟を與へ其の變態を促進する。然しその作用は甚だ微力にして極めて不安定なる部分の變態は促進せしめ得るが安定状態にあるものには影響を與へ得ない程度である。仍て此影響は粒境の如き變態し易き部分にのみ作用するものと考へられる。今之等の現象より本實驗結果を説明する。

(i) 上部臨界冷却速度に就て 臨界點直下の速度で冷却すれば其の組織は粒境にのみ微量のトルースタイトを發生し他は全部マルテンサイトとなる。故に此場合は極めて變態し易い粒境のみを考慮すればよい。然るにオーステナイトよりトルースタイトへの變態即ち  $Ar'$  點は 500~600°C の高溫に生ずる爲め前述の作用により水素含有試料は水素なき場合に比し其の粒境にトルースタイトを生じ易く仍て上部臨界冷却速度が大となるものと思考する。猶之等の實驗結果を見ると兩者の臨界冷却速度の差は甚だ大であるが之は上述せる作用の外に水素の脱炭による影響も加はつた爲めと思はれる。即ち第 41 表に示す如く本實驗試料は脱炭極めて少なきも一般に水素はオーステナイト粒

境より滲透する爲め其の部分のみは必ず多少脱炭して居るであらう。仍て炭素量の見地よりするも水素含有試料の粒境は變態し易いのである。

(ii) 下部臨界冷却速度に就て 下部臨界點直上の速度にて冷却すれば水素含有試料は前同様オーステナイト粒境のみは速に變態するが内部は上述諸理由により其の影響を受けず却て水素本來の作用によりマルテンサイトの生成を容易にする。仍て下部臨界冷却速度は小となり逆に燒が入り易くなるのである。然るに炭素鋼及びニッケル鋼に於ける結果が之と反対になって居るのは之等試料が前述の如く水素中にて加熱の際脱炭したる爲め其の影響によるものと思はれる。之を要するに水素は鋼の上部臨界冷却速度を大にし而も下部臨界冷却速度は小となし燒入狀態圖に於けるマルテンサイトとトルースタイトの共存範囲を擴げるのである。斯の如く水素に関する燒入實驗は極めて困難にして本結果は其の實驗回數少きを以て尙不十分なるを免れ得ない。仍て今後水素分析法の完成と相俟て更に實驗を行ふ豫定である。

## 2. 窒素の影響

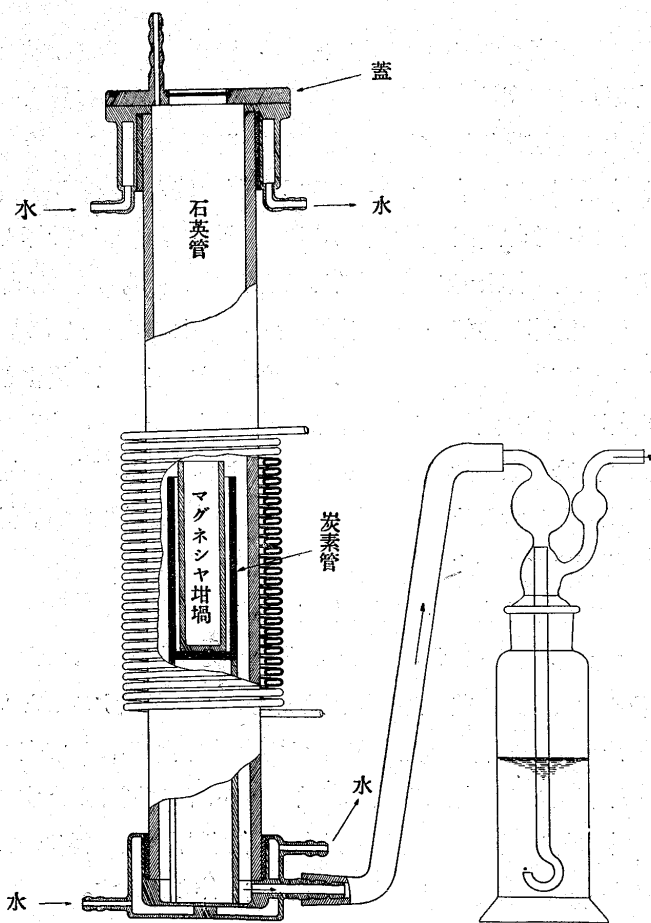
窒素は從來合金元素としては用ひられなかつたが Fry<sup>79)</sup> が窒化による表面硬化法を發明するに及び此方面に應用される様になつた。一般に窒素は製鋼の際接觸ガス或は鋼滓<sup>80)</sup>より入り來るのであるが其の量は極めて微少にして 0.003~0.015% 程度に過ぎない。只特殊の場合として熔接等の際多量に介入せられるので種々問題を生ずる。鐵の窒素吸收に關しては Martin,<sup>81)</sup> Sieverts<sup>82)</sup> 及び Brunning<sup>83)</sup> Jurish<sup>84)</sup> 岩瀬博士<sup>56)</sup> 等の研究があるが何れも溫度を上昇するに從て吸收量上昇し  $\alpha \rightarrow \gamma$  變態にて急激に増加し、以後は却て溫度上昇に從て減少することを示して居る。次に之等の狀態圖に關しては Fry<sup>79)</sup> が初めて完成し  $Fe_4N$  及び  $Fe_2N$  の存在を認めた。其の後 Brill<sup>85)</sup> Hägg<sup>86)</sup> Eisenhut 及び Kaupp<sup>87)</sup> Lehrer<sup>88)</sup> Köster<sup>89)</sup> は更に之を明にした。又 Epstein<sup>90)</sup> は熱分析、顯微鏡試験及び X 線試験により別に狀態圖を構成し更に  $Fe_6N$  の存在を主唱した。近年 Portevin 及び Seferian<sup>91)</sup> は新狀態圖を作製し多少變更した。之等によれば窒素は鐵中にて恰も炭素の如き作用をなし變態點を降下し  $\gamma$  區域を安定にする。そして炭素と同様常溫にては極めて微量鐵に溶解し得るに過ぎず餘分のものは窒化鐵として含有される。次に鋼の性質に及ぼす影響は從來一般に有害とされて居

た。Koster<sup>92)</sup>によれば窒化鉄は餘り影響なきも固溶せる窒素は弾性限及び抗張力を高めるが伸び及び絞りを著しく小にし脆くする。之に反し Franks<sup>93)</sup>は Ni・Cr 鋼に及ぼす窒素の影響に就き實験し窒素が其の粒形を小にする爲め却て強靱になると云つた。又窒素が鋼の焼入に及ぼす影響に就ては未だ全く研究がない。之れ含窒素鋼は寧ろ窒化及び析出による硬化が實際上大切である爲めである。本研究に於ては共析組成の炭素鋼の焼入に及ぼす窒素の影響に就き實験した。

### (1) 試料の調製

窒素を多量に而も一様に鋼に直接含有せしめることは極めて困難である。Sawyer<sup>94)</sup>は鋼を 3 気圧の窒素氣流中にて熔解し 0.034%，Andrew<sup>95)</sup>は 200 気圧で 0.3% を入れ得た。又 Strauss<sup>96)</sup>は NH<sub>3</sub> 中で熔解し 0.04% を含有せしめ得たのである。本實験に於て著者は第 26 圖に示す裝置により常壓の純窒素氣流中にて熔解した。

第 26 圖 窒素含有試料熔解裝置



先づ原料としてはアルムコ鐵を主體とし之と木炭粉末より製したる白銑を適當量配合したるもの用ひた。之をマグネシア製ルツボに入れ圖の如く石英管の中央に置き硝

子蓋を包み内部の空氣を窒素にて置換し、次に爐に電流を通じて加熱した。熔解後 15~20 分間保ち十分窒素を吸收せしめて電流を切り其の儘窒素中にて冷却凝固せしめた。斯くて製したる試料の窒素含有量を分析したるに 0.028 % であった。

次に更に多量の窒素を含有せしめん爲め凝固直後外部に取出し直に水中に投入急冷し、一旦吸收せる窒素にして冷却の際放出されるのを防ぎたる結果 0.035% を含有せしめ得た。仍て之等二種の試料に就き前述同様に實験し真空中にて熔解せる窒素含有量痕跡なる試料と比較した。第 46 表にそれ等の化學成分及び變態點を示す。猶各試料の炭素含有量は表の如く大體一定となし結果の正確を期した。

第 46 表 窒素含有試料の化學成分及變態點

| 試料番號 | N %   | C %  | Si % | Mn % | P %   | S %   | 變態點°C           |                 |
|------|-------|------|------|------|-------|-------|-----------------|-----------------|
|      |       |      |      |      |       |       | Ac <sub>3</sub> | Ac <sub>1</sub> |
| 01   | 痕跡    | 0.89 | 0.07 | 痕跡   | 0.009 | —     | 770             | 750             |
| 1402 | 0.028 | 0.84 | 0.15 | なし   | 0.006 | 0.010 | 763             | 735             |
| 1409 | 0.035 | 0.91 | 0.02 | なし   | 0.022 | 0.009 | 765             | 740             |

### (2) 實驗結果

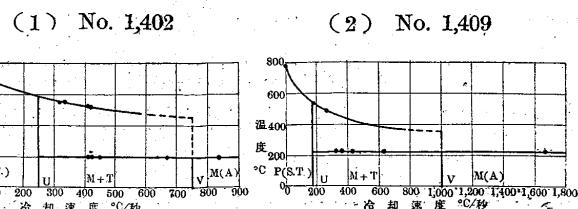
第 47 表は其の實驗結果、第 27 圖は焼入狀態圖を示す。

第 47 表 窒素含有試料の實驗結果

| 試料番號 | N %   | C %  | 燒入溫度 °C | 實驗番號 | 冷却速度 °C/秒 | 變態點°C |        | 試料顯微鏡組織 |
|------|-------|------|---------|------|-----------|-------|--------|---------|
|      |       |      |         |      |           | Ar'   | Ar''   |         |
| * 01 | 痕跡    | 0.89 |         |      |           |       |        |         |
| 1402 | 0.028 | 0.84 | 850     | 1    | 833       | —     | 191    | M 100%  |
|      |       |      |         | 2    | 666       | 193   | T 1%   | M 99%   |
|      |       |      |         | 3    | 500       | 196   | T 1-2% | M 残り    |
|      |       |      |         | 4    | 450       | 196   | T 5%   | M 95%   |
|      |       |      |         | 5    | 417       | 507   | T 7%   | M 93%   |
|      |       |      |         | 6    | 410       | 524   | T 15%  | M 85%   |
|      |       |      |         | 7    | 323       | 544   | M 1%   |         |
| 1409 | 0.035 | 0.91 | 825     | 1    | 1,665     | —     | 224    | M 100%  |
|      |       |      |         | 2    | 625       | 224   | T 1%   | M 99%   |
|      |       |      |         | 3    | 435       | 224   | T 1-2% | M 残り    |
|      |       |      |         | 4    | 358       | 226   | T 2-3% | M 残り    |
|      |       |      |         | 5    | 323       | 217   | T 2-3% | M 残り    |
|      |       |      |         | 6    | 263       | 484   | M 60%  |         |
|      |       |      |         | 7    | 189       | 526   | M 痕跡   |         |

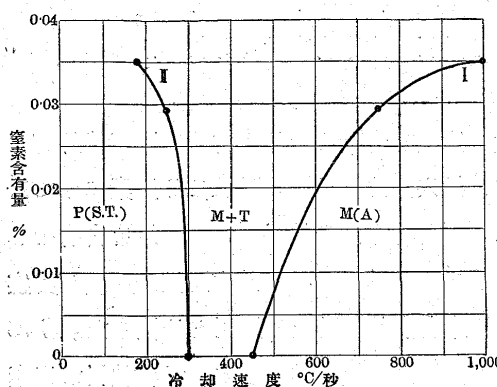
\* 本試料の實驗結果は第 1 報第 5 表に示せるを以て省略した。顯微鏡組織中の M 及び T の符號は夫々マルテンサイト及びトルースタイトを示し、附記數字は其の面積により推定したる量の百分率である。

第 27 圖 窒素含有試料の焼入狀態圖



圖中何れも別に異狀を示さない。次に第 48 表は之より求めたる各試料の臨界冷却速度にして第 28 圖は之を圖示し炭素鋼の臨界冷却速度に及ぼす窒素の影響を示す。

第28圖 炭素鋼(C0.9%)の臨界  
冷却速度に及ぼす窒素の影響



第48表 窒素含有試料の臨界冷却速度

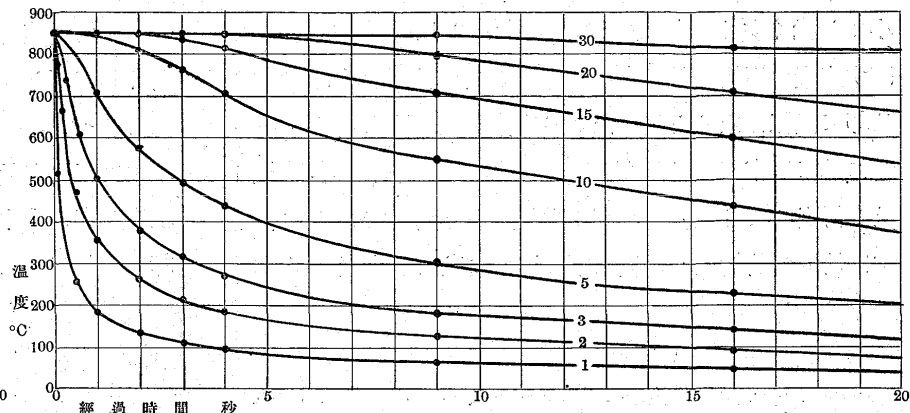
| 試料番号 | N %   | C %  | 下部臨界冷却速度 °C/秒 | 上部臨界冷却速度 °C/秒 |
|------|-------|------|---------------|---------------|
| 01   | 痕跡    | 0.89 | 300           | 450           |
| 1402 | 0.028 | 0.84 | 250           | 750           |
| 1409 | 0.035 | 0.91 | 180           | 1,000         |

之を見るに窒素は水素と同様鋼の上部臨界冷却速度を大とし下部臨界冷却速度は逆に小にする。一般に鋼中に固溶せる窒素は Chipman<sup>97)</sup> 等の述べし如く比較的安定であるから之は鐵原子中に嵌入して炭素原子の移動を困難ならしめマルテンサイトの生成を容易にする。然るに常温に於て窒素の鐵に對する溶解度は Fry<sup>79)</sup> が 0.015%, Köster<sup>89)</sup> が 0.001% と云へる如く其の正確なる量は未だ明でないが兎に角極めて僅少に過ぎず試料 1,402 及び 1,409 は何れも其の限度を越して居る。仍て其の過剰窒素は窒化鐵として含有せられ焼入溫度に加熱するも尙オーステナイト中に多少残留し冷却の際前述せる特殊炭化物と同様變態の核作用をなしてトルースタイトの生成を助長する。然し窒化鐵は一般に粒境に多く存在し且其の影響は粒境の如き極めて變態し易き状態にある部分にのみ及ぼし得る程度であるから之れによる變態促進の影響は特に粒境のみに限定し得るのである。次に之等諸現象より本實驗結果を考察する

(i) 上部臨界冷却速度に就て 上部臨界點直下の速度にて冷却する場合は粒境に生ずる少量のトルースタイトのみを考慮すれば十分であるから、上述せる窒化鐵の核作用は此際大なる影響を與へる。故に窒素多き試料は粒境にトルースタイト生成し易く上部臨界冷却速度は大となる。

(ii) 下部臨界冷却速度に就て 下部臨界點附近の速度で冷却する場合は粒境のみならず粒全體の變態を考慮せねばならない。仍て此場合窒化鐵の影響は餘り效果なく、却て窒素本來の作用によりマルテンサイトの生成を容易にし下部臨界冷却速度を小とするのである。然るに特殊炭化

第29圖 焼入の際に於ける鋼材内部の溫度變化(曲線に附せる  
數字は表面よりの深さ(mm)を示す)



物による影響の際下部臨界冷却速度も上部臨界冷却速度と同様大となりたるは炭化物が核作用以外にオーステナイト中の固溶炭素を減少したこと及び之は粒境に偏在するとなき事實等によるのである。

## VII. 焼入の際に於ける鋼材内部の冷却速度

上述諸實驗にて得たる各種鋼の臨界冷却速度の實驗値を應用し其の鋼材の表面よりの焼入深度を求むるには焼入の際生ずる鋼材各部の冷却速度を知る必要がある。仍て著者は炭素鋼或は Ni-Cr 鋼等の如き鋼材を焼入した場合其の内部の冷却速度を熱傳導率等より計算した。此種計算としては齋藤博士<sup>98)</sup>が熱傳導率より鑄込後の鋼塊内部の冷却狀況を計算し各部分の溫度變化を正確に求めた。又 Schwarz<sup>99)</sup> は金型に鑄込みたる際の熔鋼及び型の溫度變化を計算したが、之等は何れも自然冷却の場合であつて焼入の如き急冷の際の計算は諸種の情況により極めて複雜且一層困難であるからそれに關するものは殆んど見當らない。仍て著者は進んで之を試みた次第である。

### 1. 冷却速度の計算基本式

今計算を簡略にする爲め特に焼入する鋼材を極めて大なるものと假定し其の外周に近き部分のみを考慮することとした。此場合熱の移動は表面に直角の方向のみにして表面と平行なる面は總て等溫と見做し得る。故に斯く限定すれば本計算に於て二元を省略出來て頗る簡単となし得るのである。次に之等條件の元に基本的式を作らんとす。

$$\theta = \text{溫度} (\text{°C}) \quad t = \text{時間} (\text{se})$$

$$K = \text{熱傳導率} \left( \frac{\text{cal}}{\text{°C} \cdot \text{se} \cdot \text{cm}^2} \right)$$

$$c = \text{比熱} \left( \frac{\text{cal}}{\text{g} \cdot \text{°C}} \right) \quad \rho = \text{密度} \left( \frac{\text{g}}{\text{cm}^3} \right)$$

$h$  = 擴散率

$x, y, z$  を直軸座標とすれば一般の熱傳導の式は

$$\frac{\partial \theta}{\partial t} = h \left( \frac{\partial^2 \theta}{\partial x^2} + \frac{\partial^2 \theta}{\partial y^2} + \frac{\partial^2 \theta}{\partial z^2} \right) \quad \dots \dots \dots (1)$$

但し  $h = \frac{K}{c\rho}$  にて表はさる。

然るに上述の如く考へれば  $y$  及び  $z$  の方面は考へなくて宜しい。故に此場合 (1) は

$$\frac{\partial \theta}{\partial t} = h \frac{\partial^2 \theta}{\partial x^2} \quad \dots \dots \dots (2)$$

となる。

次に焼入直前の鋼材各部の温度は一様にして而も即知である。又簡単の爲め鋼材表面は焼入した瞬間  $0^\circ\text{C}$  になつたと假定すれば始原條件及び限界條件は次の如くである。

$t=0$  の時は (始原條件)

$$\theta = \theta_0$$

$x=0$  に於ては (限界條件)

$$\theta = 0$$

仍て之等を入れて (2) を一般解法により解けば

$$\theta = \frac{2\theta_0}{\sqrt{\pi}} \int_0^{\frac{x}{2h\sqrt{t}}} e^{-\beta^2} d\beta \quad \dots \dots \dots (3)$$

を得。但し  $\theta_0$  は焼入温度 ( $^\circ\text{C}$ ),  $x$  は表面よりの深さ ( $cm$ ),  $t$  は焼入後の経過時間 (se) である。故に (3) に於て  $x$  に適當の値を代入すれば、表面から  $x$  の深さに於ける部分の焼入後の温度變化が求められる。猶本計算は確率函數の表により之を行つた。次に焼入の際の鋼材内部の冷却速度の變化を求める爲め (3) を  $t$  に關して微分すれば

$$\begin{aligned} \frac{\partial \theta}{\partial t} &= \frac{2\theta_0}{\sqrt{\pi}} \left\{ e^{\frac{-x^2}{4ht^2}} \left( \frac{-x}{4ht^{\frac{3}{2}}} \right) - 0 \right\} \\ &= \frac{-\theta_0 x}{2h\sqrt{\pi t^{\frac{3}{2}}}} \cdot e^{\frac{-x^2}{4ht^2}} \quad \dots \dots \dots (4) \end{aligned}$$

となる。(4) に於て  $x$  に適當の値を代入すれば (3) の場合と同様表面より  $x$  の部分に於ける焼入後の冷却速度の變化が求められる。仍て以上の如く (3) 及び (4) を計算することにより鋼材内各部分の時間一温度及び時間一冷却速度曲線が求められる。猶嚴密に云へば鋼は冷却の際變態點にて熱を發生するのであるが、之は比較的微量であるから省くこととした。又此計算値を最も實際に近からしめる爲め、計算に必要なる種々の數値には次に述べたる如く最近の最も正しいと信するものを求め且著者の前述せる各種

實驗に於て掲げたる冷却速度の値と一致せしむる爲めそれ等の内  $700^\circ\text{C}$  に於けるものを採用した。焼入温度  $\theta_0$  に就ては現場作業に於て一般に  $850^\circ\text{C}$  より行ふ場合が最も多いので之と歩調を合す爲め該温度を採用した。

## 2. 比熱 $c$ , 密度 $\rho$ 及熱傳導率 $K$ の決定

純鐵の常温に於ける比熱  $c$  は本多博士及び徳永氏<sup>100)</sup> 其の他の諸氏の測定により大體  $0.11 cal/g^\circ\text{C}$  程度である。最近海野博士<sup>101)</sup> は極めて正確なる方法により  $900^\circ\text{C}$  以上の炭素鋼の比熱を測定した。之より  $700^\circ\text{C}$  に於ける數値を圖的に求めると炭素  $10.3\%$  の炭素鋼は  $0.149 cal/g^\circ\text{C}$ ,  $0.77\%$  のものは  $0.15 cal/g^\circ\text{C}$  となり炭素の影響は餘り表れはないのである。次に一般に特殊鋼の比熱は各成分元素の算術的和により得られるのであるから、今假に  $Ni\cdot Cr$  鋼 ( $Ni 4\%, Cr 2\%$ ) の  $700^\circ\text{C}$  に於ける比熱を海野博士の提出せる數値を用ひて計算すれば約  $0.15 cal/g^\circ\text{C}$  となる。斯の如く  $700^\circ\text{C}$  附近に於ては各種炭素鋼及び  $Ni\cdot Cr$  鋼等の比熱は餘り差がないことになる。

各種鋼の常温に於ける密度  $\rho$  は第 49 表<sup>102)</sup> に示す如くである。

第 49 表 各種鋼の密度

| 鋼種             | C%   | Cr%  | Ni% | 密度<br>$g/cm^3$ |
|----------------|------|------|-----|----------------|
| 炭素鋼            | 0.3  | —    | —   | 7.845          |
|                | 0.9  | —    | —   | 7.820          |
| クロム鋼           | 0.21 | 1.51 | —   | 7.74           |
|                | 0.07 | 0.22 | —   | 7.77           |
| $\gamma$ -ツケル鋼 | 0.77 | 5.19 | —   | 7.71           |
|                | —    | —    | 3   | 7.87           |
|                |      | —    | 5   | 7.88           |

之によれば一般に炭素及び  $Ni$  は其の增加と共に之を多少大とするが  $Cr$  は逆に減少させる傾向がある、仍て  $Ni\cdot Cr$  鋼は其の成分元素が互に其の影響を消し合ひ大體炭素鋼と同様  $7.80 g/cm^3$  程度と考へられる。次に之より  $700^\circ\text{C}$  に於ける密度を求むる爲め第 50 表<sup>103)</sup> に示す熱膨脹係数を用ひて換算すれば第 51 表に示す如き數値となる。

第 50 表 炭素鋼及  $Ni\cdot Cr$  鋼の熱膨脹係数

| 鋼種             | C%       | Ni% | Cr%     | 熱膨脹係数 |
|----------------|----------|-----|---------|-------|
| 炭素鋼            | 0.3~0.4  | —   | —       | 1.59* |
| $Ni\cdot Cr$ 鋼 | 0.32~0.4 | 3~5 | 0.7~1.8 | 1.48* |

\*  $0\sim700^\circ\text{C}$  の平均値を示す。

之を見るに炭素鋼と  $Ni\cdot Cr$  鋼は其の差極めて少いのである。

第 51 表 炭素鋼及  $Ni\cdot Cr$  鋼の密度

| 鋼種 | 炭素鋼<br>密度( $700^\circ\text{C}$ )<br>$g/cm^3$ | $Ni\cdot Cr$ 鋼<br>$7.56$ |
|----|--|--------------------------|
|    | 7.59   |                          |

熱傳導率 K に関しては其の測定方法は極めて困難であるが之は種々の研究上重要な爲め多くの學者が實驗して居る。本多及び清水兩博士<sup>104)</sup>は初めて 900°C 近の各溫度に於ける炭素鋼の熱傳導率を測定した。其の後清水博士<sup>105)</sup> 増本博士<sup>106)</sup> Benedict, <sup>107)</sup> Donaldson, <sup>108)</sup> Shelton 及び Swanger, <sup>109)</sup> Maurer <sup>110)</sup> 服部氏<sup>111)</sup>, 菊田博士<sup>112)</sup> 及び田所博士<sup>113)</sup> 等が之を測定したが何れも多少の差を示して居る。其の内 Maurer <sup>110)</sup> によれば炭素鋼及び Ni·Cr 鋼の熱傳導率は常温にて相當相異するも高溫に加熱するに従ひ前者は減少するに反し、後者は増大し結局 700°C 附近にて略等しくなるのである。Donaldson <sup>108)</sup> は又組織により著しく影響を受け、フェライトはパラライトより大きくなることを認めた。以上の諸實驗結果を綜合して炭素鋼及び Ni·Cr 鋼の 700°C に於ける熱傳導率を求むれば第 52 表に示す如くになるのである。

第 52 表 炭素鋼及 Ni·Cr 鋼の熱傳導率

| 鋼種   | 炭素鋼(C 0.3%) | 炭素鋼(C 0.9%) | ニッケルクロム鋼 |
|------|-------------|-------------|----------|
| 熱傳導率 | 0.08        | 0.075       | 0.07     |

斯くて炭素鋼及び Ni·Cr 鋼の比熱、密度及び熱傳導率に就き考察するに 700°C に於ては何れも常温に於けるより其の差僅少となり殆んど計算結果に影響を與へざる程度である。仍て者者は下記の如く之等の平均値より擴散率 h を求め之れにより計算を行ひ其の結果を上述各種鋼の場合に共用して手數を省いた。

$$\text{即ち } \text{比熱}(c) = 0.15$$

$$\text{密度}(\rho) = 7.58$$

$$\text{熱傳導率}(K) = 0.075 \text{ とし}$$

$$h^2 = \frac{K}{c\rho} = \frac{0.075}{7.58 \times 0.15} = 0.066$$

$$h = 0.257$$

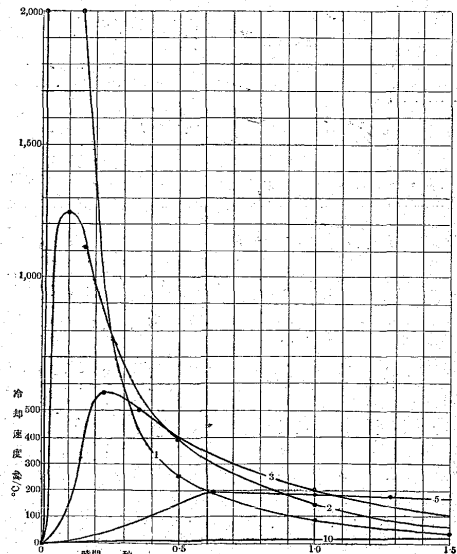
### 3. 冷却速度の計算値とその應用

以上述べた計算式と鋼材の恒数を用いて計算せる値を擧げる。即ち第 29 圖は前記算式(3)より求めたる鋼材焼入の際に於ける表面より深さ 1, 2, 3, 5, 10, 15, 20 及び 30 mm に當る 8 個所に於ての時間一溫度曲線を示すものである。

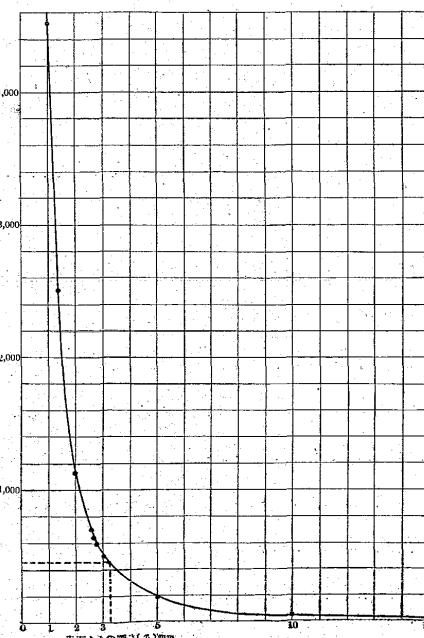
之を見るに何れも最初は比較的徐冷なるも其の後急冷となり、溫度の降下に従ひ又漸次緩かとなる傾向を有する

然して此變化は内部に入るに従ひ時間的に遅れるのである。次に第 30 圖は前記算式(4)より計算したる深さ 1, 2, 3, 5 及び 10 mm の各點に於ける時間一冷却速度曲線を示す。猶 15, 20 及び 30 mm に於ける曲線は省略した。之を見るに何れも焼入直後は冷却速度零なるも其の後急激に増加し直に極大に達し漸次減少し横軸に接近す。然して其の最大値に達する迄の時間は表面に近き程急速で而も其の値大である。一般に鋼の焼入效果に及ぼす冷却速度の影響は Bain, <sup>114)</sup> Bain 及び Davenport <sup>115)</sup> 其の他諸氏の述べたる如く、變態發生溫度直上の冷却速度によるのであって單に最大速度のみに餘り重きを置くのは正しくない。又前述せる著者の諸實驗に於て用ひた冷却速度は 800~600°C の平均であるから本計算に於ては種々考慮の末鋼材内各部の 700°C に於ける冷却速度を求めてそれにより焼入深度を考究することとした。之は上述せる時間一溫度及び時間一冷却速度の二曲線より畫圖的に求められるのであって第 31 圖に之を示した。

横軸は時間として縦軸は曲線 I に對しては溫度、曲線 II に對しては冷却速度を示す。圖に於て曲線 I 上 700°C に相當する點より縦軸に平行線を引けば之と曲線 II との交點が求むる冷却速度を示すのである。第 32 圖は斯くして求めたる鋼材各部の 700°C に於ける冷却速度を示す曲線である。

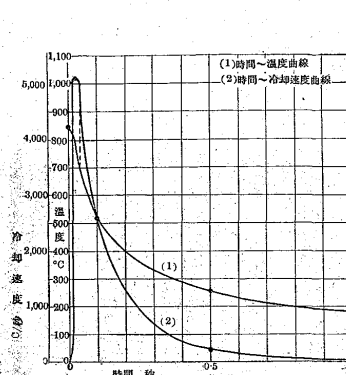
第 30 圖 焼入の際に於ける鋼材内部の冷却速度變化  
曲線上に附せる數字は表面よりの深さ(mm)を示す

第 32 圖 焼入の際に於ける鋼材内部の冷却速度(700°C にて)



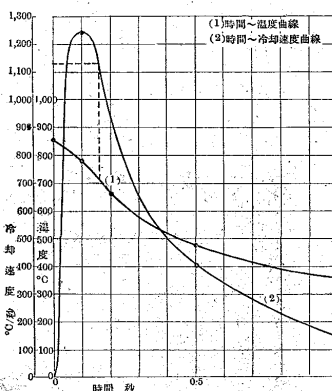
第31図(I)

焼入の際に於ける鋼材内部  
(深さ 1 mm) の冷却曲線



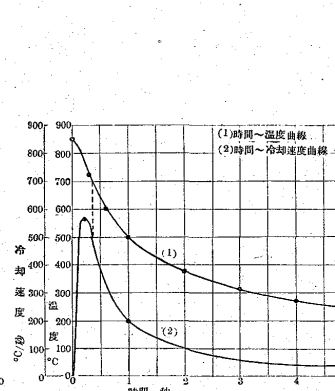
第31図(II)

焼入の際に於ける鋼材内部  
(深さ 2 mm) の冷却曲線



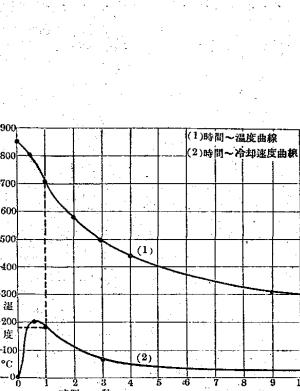
第31図(III)

焼入の際に於ける鋼材内部  
(深さ 3 mm) の冷却曲線



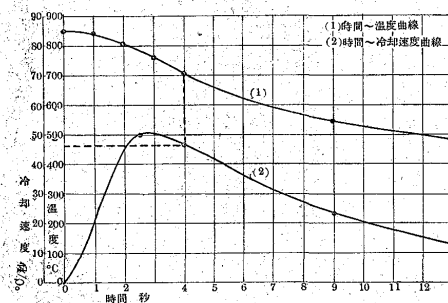
第31図(IV)

焼入の際に於ける鋼材内部  
(深さ 5 mm) の冷却曲線



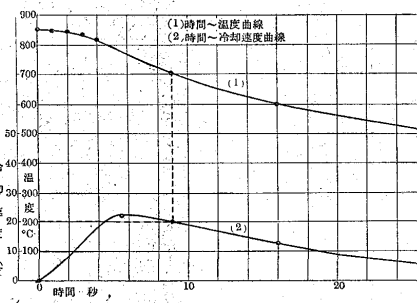
第31図(V)

焼入の際に於ける鋼材内部  
(深さ 10 mm) の冷却曲線



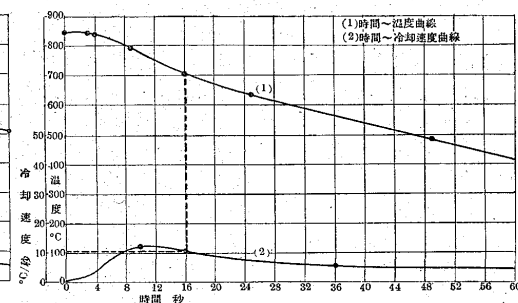
第31図(VI)

焼入の際に於ける鋼材内部  
(深さ 15 mm) の冷却曲線



第31図(VII)

焼入の際に於ける鋼材内部  
(深さ 20 mm) の冷却曲線



にて之を用ふれば次の如き畫圖的方法により臨界冷却速度を知れる鋼の焼入深度が求められる。今 C 0.9% の炭素鋼を例として見るに本鋼の上部臨界冷却速度は 450°C/秒 (第1報第6表) であるから、圖中點線で示す如き方法によれば焼入により表面から約 3 mm 強の深さ迄は完全に焼入組織が得られることが判る。斯くして一般に鋼材の焼入深度は本曲線を用ふることにより臨界冷却速度から之を求め得られるのである。即ち鋼材熱處理に際して其の效果の及ぶ深度を豫知し得ることになるから、著者が新たに提供したる第32圖曲線は實地工業上頗る重要な曲線と確信する。

## VIII. 鋼材真空加熱焼入実験

上述の如くして計算により求めたる焼入深度が實際に焼入の場合に比較して如何であるかを試験する爲め著者は各種の鋼試料を真空中にて焼入温度に加熱し表面の酸化及び脱炭を完全に防ぎ冷水中に急冷して其の断面検査を行つた

### 1. 試料の調製

本実験の試料は特に次の如くして調製した。即ちアルムコ鐵を主體として適當に配合したる原料約 4 kg をタンマ

ン爐にて熔解し、丸形の金型に鑄込んだ。之を鍛鍊及び焼鈍したる後直徑 30 mm 長さ 40 mm の圓筒試料に削製した。斯くして製作せる試料の内本實験に使用せるものは第53表に化學成分を示す7種の炭素鋼及び特殊鋼にして何れも炭素は 0.3% を目標とした。

第53表 實験試料化學成分

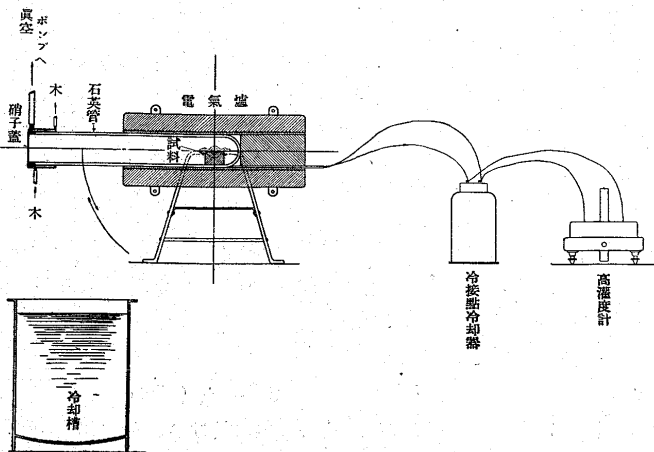
| 試料番號 | 鋼種類           | C %  | Ni % | Cr % | Mo % | Co % | Si % | Mn % | P %   | S %   | Cu %  |
|------|---------------|------|------|------|------|------|------|------|-------|-------|-------|
| 1522 | 炭素鋼           | 0.29 | —    | —    | —    | —    | 0.05 | 痕跡   | 0.011 | 0.015 | 0.045 |
| 1523 | 〃             | 0.87 | —    | —    | —    | —    | 0.04 | なし   | 0.012 | 0.015 | 0.055 |
| 1524 | ニッケル鋼         | 0.27 | 3.09 | —    | —    | —    | 0.03 | 〃    | 0.012 | 0.025 | 0.045 |
| 1525 | クロム鋼          | 0.28 | —    | 0.80 | —    | —    | 0.03 | 痕跡   | 0.002 | 0.026 | 0.04  |
| 1526 | コバルト鋼         | 0.30 | —    | —    | —    | 3.75 | 0.03 | 〃    | 0.006 | 0.033 | 0.04  |
| 1527 | ニッケルクロム鋼      | 0.27 | 3.24 | 0.55 | —    | —    | 0.02 | 〃    | 0.007 | 0.029 | 0.03  |
| 1528 | ニッケルクロムモリブデン鋼 | 0.28 | 3.32 | 0.74 | 0.33 | —    | 0.02 | 〃    | 0.004 | 0.035 | 0.06  |

### 2. 實驗装置及方法

真空加熱焼入實驗装置は從來種々考案せられたるも未だ完全に其の使命を果し得るものは殆んどない。三上氏<sup>116)</sup>の装置は極めて高度の真空中にて加熱せるも焼入の際蓋を除き試料を一旦空中に置いたので之も完全とは云へない。

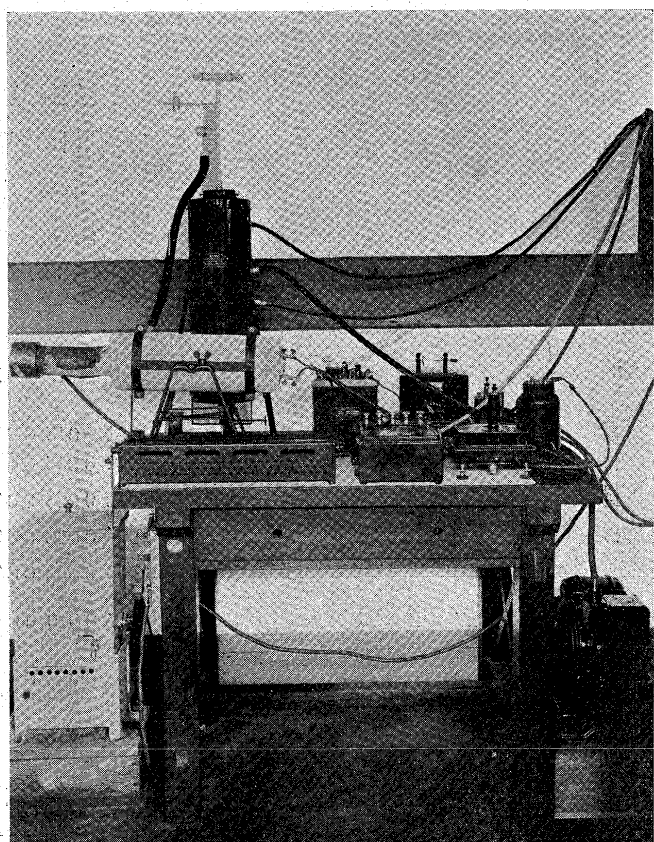
仍て著者は第33圖及び第34圖寫真に示す獨特の装置を考案製作した。之は其の構造極めて簡単にして而も真空加熱焼入の目的を十分果し得るのである。

第33圖 真空加熱焼入装置説明図



圖中石英管は一端を閉じたる直徑 60mm のものにして加熱の際之に試料を入れるのである。其の他端の開いたる部分には冷却水を通じたる銅製の輪型金物を附し、石英管との間隙は封蠟にて完全に封じた。金物の中央の試料插入口は圖の如く硝子板にて蓋ひ螺旋にて外部より十分閉め附

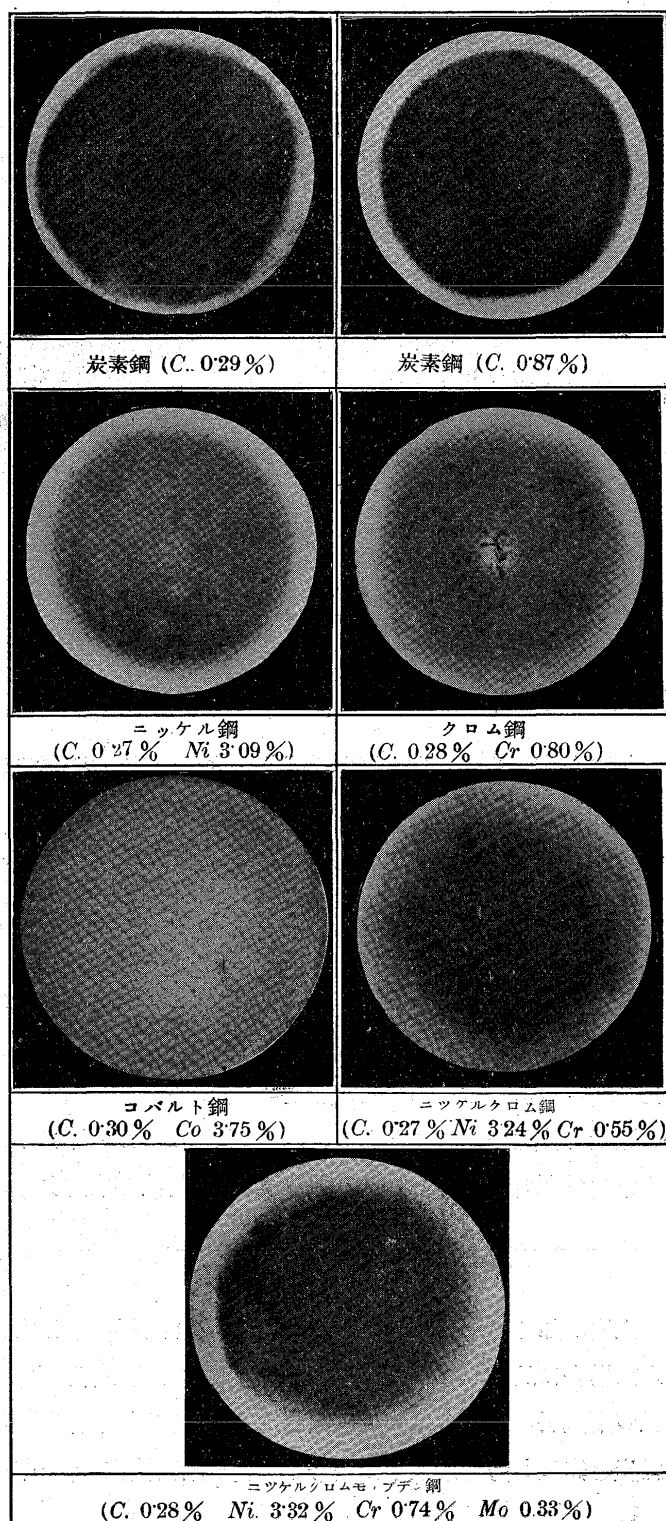
第34圖 真空加熱焼入装置



けた。斯くして石英管内は完全に氣密に保たれるにより内部の空氣を寫真に示す水銀擴散ポンプ及び真空回轉ポンプ

にて排除せば極めて速に 0.001mm 水銀柱程度になし得た。猶真空度はガイスレル管にて觀測した。次に電氣爐はニクロム線を巻きたるものにして架臺に乗せ加熱中は水平に保ち焼入の際矢印の如く傾斜させ、内部の試料を水槽中に落下せしめた。水槽中には 5~10°C の水を満し其の表

第35圖 真空加熱焼入鋼材断面



面は可及的に加熱爐に近づけしめて焼入の際試料の外気に觸れるのを極少となるに努めた。又焼入の際には電動機に

て回轉せる推進機にて水を攪拌し冷却能力を大とした。試料の測熱は熱電対を電氣爐内に挿入し普通の如く高溫計により行つた。

次に實驗方法は先づ石英管を圖の位置に置き試料を入れた後硝子板を裝備して内部を真空にする。完全に真空になった後爐に電流を通じ試料を焼入溫度たる  $850^{\circ}\text{C}$  に加熱し之に 30 分間保持した。時間經過後コツクにて排氣を止め直に石英管を矢の方向に傾斜すれば、加熱せる試料は石英管に沿ひて滑り落ち其の重みにより硝子板を破碎して水中に落下急冷する。斯くして焼入せる試料を中心より切斷して其の断面を研磨し 1% 硝酸アルコール溶液にて腐蝕し顯微鏡並に肉眼検査により完全に焼入組織となりたる部分の表面よりの深さを測定した。

### 3. 實驗結果

第 35 圖は上述焼入試料の断面に於ける肉眼組織にして之等は何れも高度の真空中にて加熱せる爲め表面層の酸化は勿論脱炭をも全く認められなかつた。第 54 表は之れより測定せる各試料の焼入深度を示す。又同表には別に之等試料の上部臨界冷却速度を應用し計算により求めたる數値を示した。

第 54 表 各種鋼材の焼入深度

| 試料番號 | 鋼種類           | 主要化學成分                                | 焼入深度(mm) |     |
|------|---------------|---------------------------------------|----------|-----|
|      |               |                                       | 測定値      | 計算値 |
| 1522 | 炭素鋼           | C 0.29%                               | 1.2      | 1.4 |
| 1523 | 同上            | C 0.87%                               | 3.0      | 3.2 |
| 1524 | = ツケル鋼        | C 0.27%, Ni 3.09%                     | 2.5      | 2.5 |
| 1525 | クロム鋼          | C 0.28%, Cr 0.80%                     | 2.5      | 2.8 |
| 1526 | コバルト鋼         | C 0.30%, Co 3.75%                     | 0        | 0.5 |
| 1527 | ニッケルクロム鋼      | C 0.27%, Ni 3.24%, Cr 0.55%           | 4.5      | 4.5 |
| 1528 | ニッケルクロムモリブデン鋼 | C 0.28%, Ni 3.32%, Cr 0.74%, Mo 0.33% | 7.5      | 7.5 |

此兩者を比較するに何れも大體に於て一致して居る。斯く得たる之等の數値は極めて概括的のものであるが焼入效果の及ぶべき鋼材表面よりの深度の多少に關し、其の傾向を知るには十分であると考へる。從て七章に述べたる如く著者の實驗にて求めたる臨界冷却速度と第 32 圖の曲線とを應用すれば各種鋼材の焼入深度が畫圖的に求め得ることを茲に證明し得たのである。

### IX. 結論

以上八章に分ち記載したる研究結果を總括すれば次の通りである。

1. 二種以上の特殊元素を有する特殊鋼の焼入に及ぼす各元素の影響は炭素鋼に對する當該元素の影響と同傾向で

ある。其の程度は共存元素の各々による影響を知る時は簡単に畫圖的に之を求めることが出来る。

2. 各種鋼の焼入に及ぼす炭素の影響は其の含有量により變するも、共析組成のもの最大にして、過共析組成にては再び小となるのが通則である。但しニッケル鋼に於ては例外を示した。

3. 烧入溫度を上昇すると一般に焼入容易となり特に特殊炭化物を生成するものに於ては其の影響大である。

4. 烧入前の組織の影響は極めて著しい。繰返し焼入の場合は前に比し焼入容易となる。又鍛鍊度大なるものは小なるものに比し焼入し難い。

5. 鋼中に不純物として含有される水素及び窒素の焼入に及ぼす影響は他元素と異り特殊の傾向を示した。鋼の上部臨界冷却速度を大にし下部臨界冷却速度は逆に小にする

6. 熱傳導に關する一般の方程式を用ひ焼入の際に於ける鋼材内部冷却速度の變化を計算し之と臨界冷却速度の實驗値とより鋼の焼入深度を求め得べく、實地焼入作業上應用すべき曲線を新に提供した。

7. 最後に著者考案の裝置により直徑 30 mm 鋼材の真空加熱焼入實驗を行ひ、組織試験により實驗的に焼入深度を求め前述計算による數値の正しきことを確めた。

以上諸實驗に於て鋼の焼入に及ぼす各種元素の影響等を正確に測定し得た。其の結果は實地作業に於て大いに之を参考し利用し得べく、且進んで一層優秀なる特殊鋼探求の指針となし得るものと信するのである。

終りに臨み本研究の發表を許可せられたる當局並に終始御鞭達を賜りたる林田理學研究部長及び五百旗頭造兵大佐に感謝すると共に實驗中の安川玲次郎君の勞を多とする。

尙實驗裝置及び計算其の他に就て種々の便宜と御指導を與へられた眞島正市教授、梅津七藏博士を始め各位に深謝の意を表する。

(終)

### 参考文獻

- Guillet, L.: J. Iron Steel Inst. 70 (1906 II) 1
- Wever, F., Lange, H.: Mitt. Kais. Wilh.-Inst. Eisenforschg., Düsseldorf 14 (1932) 71
- Wever, F., Jellinghaus, W.: Mitt. Kais. Wilh.-Inst. Eisenforschg., Düsseldorf 14 (1932) 85
- 佐々川清: 鐵と鋼 13 (昭和 2 年) 981
- 八田篤敬: 金屬の研究 14 (昭和 12 年) 11
- Aborn, R. H., Bain, E. C.: Trans. Amer. Soc. Stl. Treat. 18 (1930) 837

- 松永陽之助: 鐵と鋼 17 (昭和 6 年) 703  
 Bain, E. C., Griffiths, W. E.: Trans. Amer. Inst. min. metallurg. Engr. 75 (1927) 166  
 Chevenard, P.: Rev. Métallurg. 24(1927)621, 25(1928)697  
 Rosenhain, W.: J. Iron Steel Inst. 12 (1930 I) 225  
 Wever, F., Jellinghaus, W.: Mitt. Kais. Wilh.-Inst. Eisenforschg., Düsseldorf 13 (1931) 103  
 7) Strauss, B., Maurer, E.: Kruppsch Mh. 1 (1920) 129  
 8) Nehl, F.: Stahl u. Eisen 53 (1933) 773  
 9) Grenet, L.: J. Iron Steel Inst. 95 (1917) 107  
 10) Clamer,: Proc. Amer. Soc. Test. Mater. Bull.10(1910)267  
 11) Oertel, W., Leveringhaus, R. W.: Werkstoffausschuss Bericht Nr. 35  
 12) Friend, J. N., West, W.: Iron & Coal Tr. Rev. 3(1931)1  
 13) Persoz, L.: Aciers Spéciaux 3 (1928) 256  
 14) 吉川晴十: 鐵と鋼 11 (大正 14 年) 874  
 15) Dreiholz, Gnertler,: Gietzerei Zeitung 21 (1924) 349  
 16) Knerr, H. C.: Trans. Amer. Soc. Stl. Treat. 13(1928)723  
 17) Maurer, E., Korschau, H.: Stahl u. Eisen 53(1933)209  
 18) 佐々川清: 鐵と鋼 15 (昭和 4 年) 201  
 19) Chase, M. R.: Steel 92 (1933) 23  
 20) Scott, H.: Sci. Pap. Bur. Stand. No. 376 (1920) 195  
 21) Aall, N. H.: Stahl u. Eisen 44 (1924) 256  
 22) 加瀬勉: 金屬の研究 2 (大正 14 年) 567  
 23) Wever, F., Jellinghaus, W.: Mitt. Kais. Wilh.-Inst. Eisenforschg., Düsseldorf 14 (1932) 115  
 24) Esser, H., Eilender, W., Majert, H.: Arch. Eisenhüttenwes. 7 (1933/34) 367  
 25) Russell, T. F.: J. Iron Steel Inst 104 (1921 II) 247  
 26) Monypenny, J. H. G.: Stahl u. Eisen 41 (1921) 270  
 27) Oberhoffer, P., Daeves, K., Rapatz, F.: Stahl u. Eisen 44 (1924) 432  
 28) 松下徳次郎: 東北帝大理科報告 11 (1922) 471  
 29) Krühnel, R.: Diss. Berlin 1913  
 30) Jungbluth, H.: Stahl u. Eisen 42 (1922) 1394  
 31) Esser, H., Majert, H.: Arch. Eisenhüttenwes. 7 (1933/34)319  
 32) 村上武次郎, 八田篤敬: 鐵と鋼 20 (昭和 9 年) 649  
 33) Houdremont, E., Bennek, H., Schrader, H.: Arch. Eisenhüttenwes. 6 (1932/33) 24  
 34) Bain, E. C.: Trans. Amer. Soc. Metals 20 (1932) 385  
 35) Digges, T. G., Jordan, L.: Trans. Amer. Soc. Metals 23 (1935) 839  
 36) Herty, C. H., McBride, D. L., Hollenback, E. H.: Trans. Amer. Soc. Metals 25 (1937) 297  
 37) Davenport, E. S., Bain, E. C.: Trans. Amer. Soc. Metals 22 (1934) 878  
 38) Leihener, O.: Stahl u. Eisen 56 (1936) 1273  
 39) Houdremont, E., Schrader, H.: Stahl u. Eisen 56 (1936) 1412  
 40) Portevin, A., Garvin, M.: J. Iron Steel Inst.(1919)469  
 41) 林 義考: 電氣製鋼 13 (昭和 12 年) 257  
 42) Grossmann, M. A.: Trans. Amer. Soc. Stl. Treat. (1933) 1079  
 43) Vögel, R., Dannöhl, W.: Arch. Eisenhüttenwes. 8 (1934/35) 39  
 44) 石川寅次郎, 米倉武雄, 石垣豊造: 東北帝大理科報告 15 (1926) 81  
 45) Braysbaw, S. N.: Proc. Inst. Mech. Engr. 1~2 (1910) 222, 348  
 46) Portevin, A.: Bull. Soc. d'Encouragement pour l' Ind. Nat. 121 (1914) 266  
 47) Zieler, W.: Arch. Eisenhüttenwes. 3 (1929/30) 61  
 48) Pölzguter, F.: Diss. T. H. Aachen 1923  
 49) 甲藤新: 金屬の研究 1 (大正 13 年) 179  
 50) 七尾正三郎: 金屬の研究 9 (昭和 7 年) 197  
 51) Sieverts, A.: Z. Physik. Chem. 77 (1911) 591  
 52) Sieverts, A.: Z. Metallkdt. 21 (1929) 37  
 53) Hättig, G. F. Z. Angw. Chem. 39 (1926) 67  
 54) Martin, E.: Arch. Eisenhüttenwes. 3 (1929/30) 407  
 55) Luckemeyer-Hasse, L., Schenck, H.: Arch. Eisenhüttenwes. 6 (1932/33) 209  
 56) 岩瀬慶三: 東北帝大理科報告 15 (1926) 531  
 57) 岩瀬慶三, 福島政治: 金屬學會誌. 1 (昭和 12 年) 151  
 58) Körber, F., Ploum, H.: Mitt. Kais. Wilh.-Inst. Eisenforschg., Düsseldorf 14 (1932) 229  
 59) Bodenstein, M.: Z. Elektrochem. 28 (1922) 517  
 60) Bardenheuer, P., Ploum, H.: Mitt. Kais. Wilh.-Inst. Eisenforschg., Düsseldorf. 16 (1934) 137  
 61) Bardenheuer, P.: Stahl u. Eisen 57 (1937) 593  
 62) Cailletet, L.: C. R. Acad. Sci., Paris, 58 (1864) 327  
 63) Cailletet, L.: C. R. Acad. Sci., Paris, 80 (1875) 319  
 64) Austin, W.: Proc. Instn. Mech. Engr., Februar (1899)  
 65) Heyn, S.: Stahl u. Eisen 20 (1900) 837  
 66) Ludwik, P.: Z. V. D. I. 70 (1926) 379  
 67) Tammann, G., Neubert, F.: Z. Metallkdt. 23 (1931)280  
 68) Bardenheuer, P., Ploum, H.: Mitt. Kais. Wilh.-Inst. Eisenforschg., Düsseldorf 16 (1934) 129  
 69) Epstein, S.: Metals & Alloys 6 (1935) 160  
 70) Houdremont, E. Korschau, H.: Stahl u. Eisen 54 (1934) 297  
 71) Bennek, H., Schenck, H., Müller, A.: Stahl u. Eisen 55 (1935) 321  
 72) 岩瀬慶三, 福島政治, 三井三郎: 鐵と鋼 22(昭和11年)769  
 73) Naumann, F. K.: Stahl u. Eisen 57 (1937) 889  
 74) Gudzov, N., Vjashnikov, N.: Metallurgist, Russia, 2 (1936) 26  
 75) Harrington, , Wood, W. P.: Trans. Amer. Soc. Stl. Treat. (1932) 528, (1933) 623  
 76) Esser, H., Cornelius, H.: Stahl u. Eisen 53 (1933) 885  
 77) 田丸莞爾: 金屬の研究 13 (昭和 11 年) 156  
 78) Lewkonja, G., Baukloh, W.: Arch. Eisenhüttenwes. 6 (1932/33) 453  
 79) Fry, A.: Stahl u. Eisen 43 (1923) 1271

- <sup>80)</sup> 早矢仕功： 鐵と鋼 21 (昭和 10 年) 707  
<sup>81)</sup> Martin, E.: Arch. Eisenhüttenwes. 3 (1929/30) 30  
<sup>82)</sup> Sieverts, A.: Ber. Dtsch. Chem. Ges. 43 (1910) 893  
<sup>83)</sup> Sieverts, A., Bruning, K.: Arch. Eisenhüttenwes. 7 (1933/34) 641  
<sup>84)</sup> Jurisch, E.: Diss. Leipzig (1912)  
<sup>85)</sup> Brill, R.: Naturwiss. 16 (1928) 593  
<sup>86)</sup> Hägg, G.: Nova Acta regiae Soc. Sci. Upsaliensis Ser. 4. 7 (1929) No. 1  
<sup>87)</sup> Eisenhut, O., Kaupp, E.: Z. Elektrochem. 36 (1930) 892  
<sup>88)</sup> Lehrer, E.: Z. Elektrochem. 36 (1930) 460  
<sup>89)</sup> Köster, W.: Arch. Eisenhüttenwes. 4 (1930/31) 537  
<sup>90)</sup> Epstein, S.: Trans. Amer. Soc. Stl. Treat. 16 (1929) 19  
<sup>91)</sup> Portevin, A., Seferian, D.: Le Genie Civil Tome. 56 (1935) 19  
<sup>92)</sup> Köster, W.: Arch. Eisenhüttenwes. 3 (1929/30) 553  
<sup>93)</sup> Franks, R.: Iron Age (1933) 10  
<sup>94)</sup> Sawyer, C. B.: Trans. Amer. Inst. Min. metallurg. Engr. 49 (1923) 799  
<sup>95)</sup> Andrew, J. H.: J. Iron Steel Inst. 86 (1912) 210  
<sup>96)</sup> Strauss, B.: Stahl u. Eisen 34 (1914) 1817  
<sup>97)</sup> Chipman, J., Murphy, D. W.: Trans. Amer. Inst. Min. Metallurg. Engr. (1935) Tech. Publ. No. 591  
<sup>98)</sup> 斎藤省三: 東北帝大理科報告 10 (1921) 305  
<sup>99)</sup> Schwarz, C.: Arch. Eisenhüttenwes. 5 (1931/32) 177  
<sup>100)</sup> 本多光太郎, 德永正勝: 東北帝大理科報告 24 (1935) 337  
<sup>101)</sup> 海野三郎: 東北帝大理科報告 24 (1935) 665  
<sup>102)</sup> Werkstoffhandbuch (Stahl u. Eisen) Verein deutscher Eisenhüttenleute.  
<sup>103)</sup> 渡瀬常吉: 電氣製鋼 12 (昭和 11 年) 10  
<sup>104)</sup> 本多光太郎, 清水武雄: 東北帝大理科報告 6 (1917) 219  
<sup>105)</sup> 清水武雄: 東北帝大理科報告 6 (1917) 111  
<sup>106)</sup> 増本量: 東北帝大理科報告 16 (1927) 417  
<sup>107)</sup> Benedicks, C.: J. Iron Steel Inst. (1926 II) 127  
<sup>108)</sup> Donaldson, J. W.: J. Iron Steel Inst. (1933 II) 255  
<sup>109)</sup> Shelton, S. M., Swanger, W. H.: Bur. Stand. J. Res. 12 (1934) 441  
<sup>110)</sup> Maurer, E.: Arch. Eisenhüttenwes. 10 (1936/37) 145  
<sup>111)</sup> 服部傳三郎: J. Iron Steel Inst. 129 (1934 I) 289  
<sup>112)</sup> 菊田多利男: 鐵と鋼 19 (昭和 8 年) 41, 462  
<sup>113)</sup> 田所芳秋: 鐵と鋼 22 (昭和 11 年) 399  
<sup>114)</sup> Bain, E. C.: Trans. Amer. Inst. Min. Metallurg. Engr. Iron Steel (1932)  
<sup>115)</sup> Bain, E. C., Davenport, E. S.: Trans. Amer. Inst. Min. Metallurg. Engr. Techn. Publ. No. 348, Cl. C.  
<sup>116)</sup> 三上正苗: 鐵と鋼 20 (昭和 9 年) 336